TUGAS AKHIR

EVALUASI PERUBAHAN NILAI CBR TANAH LEMPUNG LUNAK DENGAN PENAMBAHAN MORTAR BUSA

Diajukan untuk Memenuhi Persyaratan dalam Menyelesaikan Pendidikan Program
Sarjana Program Studi Teknik Sipil Fakultas Teknik
Universitas Islam Sultan Agung



Disusun Oleh:

Agim Setia Aji 30202100037 Andrianto Fatih Amin 30202100031

PROGRAM STUDI TEKNIK SIPIL FAKULTAS TEKNIK
UNIVERSITAS ISLAM SULTAN AGUNG
SEMARANG

2025

LEMBAR PENGESAHAN

EVALUASI PERUBAHAN NILAI CBR TANAH LEMPUNG LUNAK DENGAN PENAMBAHAN MORTAR BUSA



Aqim Setia Aji NIM : 30202100037



Andrianto Fatih Amin NIM: 30202100031

Telah disetujui dan disahkan di semaran. Agustus 2023

Tim Penguji

SLAM S Tima Tangan

1. Dr. Abdul Renim, ST. T. NIDN: 0648067601

2. Lisa Fitriyana, ST. M.Eng. NIDN: 063 12890

Ketur Program Sudi Teknik Stoil A Fakultas Teknik Stoil A Universitas Islam Suhan Agung Semarang

Muhammad Rusli Ahyar, ST., M.Eng NIDN: 0625059102

BERITA ACARA BIMBINGAN TUGAS AKHIR

No 40 / A.3 / SA - T / VIII / 2025

Pada hari ini tanggal. Agustus 2025 berdasarkan surat keputusan Dekan Fakultas Teknik. Universitas Islam Sultan Agung perihal penunjukkan Dosen Pembimbing Utama dan Dosen Pendamping.

1. Nama Dr. Abdul Rochim, ST., MT

Jabatan Akademik Lektor Kepala

Jabatan : Dosen Pembimbing Utama

2. Nama Lisa Fitriyana, ST., M.Eng

Jabatan Akademik Lektor

Jahatan : Dosen Pembimbing Pendamping

Dengan ini menyampaikan bahwa mahasiswa tersebut yang dibawah ini telah menyelesaikan bimbingan Tugas Akhir:

Aqim Setia Aji NIM: 30202100037 Andrianto Fatih Amin NIM: 30202100031

Judul : Evaluasi Perubahan Nilaj K Tanah Lempun Lunak Dengan Penambahan Mortar Busa.

Dengan Tahapan Sebagai Senku

No.	ahapax	1111	Bar Sal	9	cangan	
1.	Penungakan Dosea m	bir	150/10/5	6		
2.	Seminar Proposal	100	07/2\(\frac{1}{2}\)			
3.	Pengumpulan Data	S.	19/07/20/19	P	AU (
4.	Analisis Vata		1279/2027	9		
5.	Penyusunan Laporan	と	建期 /20%			
6.	Selesai Lanvan		20 08 2/5	-		

Demikian Berita Actor Bindbingan (eas Alan Barus) in differential diketahui dan dipergunakan seperlupka oleh pihak-pihak yang berkepentingan

Dosen Pembimburg Utama Dosen Pembimburg/Pendamping

جامعتنسلطان أجونج الإسلامية

Dr. Abdul Rochin, ST., MT

Lisa Fitriyand ST., M. Eng

Mengetahui,

Ketua Program Studi Teknik Sipil

Muhammad Rusli Ahyar, ST., M.Eng

PERNYATAAN BEBAS PLAGIASI

Saya yang bertanda tangan di bawah ini:

NAMA : Aqim Setia Aji NIM : 30202100037

NAMA: Andrianto Fatih Amin

NIM : 30202100031

Dengan ini menyatakan bahwa Tugas Akhir yang berjudul :

EVALUASI PERUBAHAN NILAI CBR TANAH LEMPUNG LUNAK DENGAN PENAMBAHAN MORTAR BUSA

Benar bebas dari plagiat, dan apabila pemyataan ini terbukti tidak benar maka saya bersedia menerima sanksi sesuai ketentuan yang berlaku

Demikian surat pernyataan ini saya byat untuk dipergunakan sebagai mana mestinya.

Yang Mengetahui,

ang Mengetahui

Aqim Setia Aji

Andrianto Fatih Amin

NIM: 30202100037

NIM: 30202100031

PERNYATAAN KEASUIAN

EVALUASI PERUBAHAN NILAI CBR TANAH LEMPUNG LUNAK DENGAN

Menyatakan dengan sesungguhas bahwa penelitian, pemikiran,dan peneritan asli saya semi. Saya tidak mencantumkan tanpa pengakuan bahan-balan yang pengakuan bahan-balan yang pengakuan belamaya atau ditulis oleh Universitas Islam

Apabila di mudian peraturan yang berlah

Demikian pentyata

MOTTO

كُنتُمْ خَيْرَ أُمَّةٍ أُخْرِجَتْ لِلنَّاسِ تَأْمُرُونَ بِالْمَعْرُوفِ وَتَنْهَوْنَ عَنِ الْمُنْكَرِ وَتُؤْمِنُونَ بِاللَّهِ اللَّهِ اللَّهِ اللَّهِ الْمُؤْمِنُونَ وَأَكْثَرُهُمُ الْفَاسِقُونَ وَلَوْ آمَنَ أَهْلُ الْكِتَابِ لَكَانَ خَيْرًا لَهُمُ * مِنْهُمُ الْمُؤْمِنُونَ وَأَكْثَرُهُمُ الْفَاسِقُونَ وَلَوْ الْمُؤْمِنُونَ وَأَكْثَرُهُمُ الْفَاسِقُونَ

"Kamu (umat Islam) adalah umat terbaik yang dilahirkan untuk manusia (selama) kamu menyuruh (berbuat) yang makruf, mencegah dari yang mungkar, dan beriman kepada Allah. Seandainya Ahlulkitab beriman, tentulah itu lebih baik bagi mereka. Di antara mereka ada yang beriman dan kebanyakan mereka adalah orang-orang fasik."

(Q.S Ali Imran: 110)

"Tujuan Pendidikan itu untuk mempertajam kecerdasan, memperkukuh kemauan, serta memperhalus perasaan."

(Tan Malaka)

لَا يُكَلِّفُ اللَّهُ نَفْسًا إِلَّا وُسْعَهَا *

"Allah tidak membebani seseorang melainkan sesuai dengan kesanggupannya." (Q.S Al Baqarah : 286)

فَإِنَّ مَعَ الْعُسْرِ يُسْرِّأُ

"Maka sesungguhnya bersama kesulitan ada kemudahan." (Q.S Al Insyirah : 5) **PERSEMBAHAN**

Puji syukur ke hadirat Allah SWT, Tuhan pemilik jiwa dan alam semesta yang telah

melimpahkan rahmat dan karunia-Nya. Sholawat serta salam selalu tercurahkan

kepada Nabi Muhammad SAW, keluarganya, sahabatnya dan juga para

pengikutnya. Tugas akhir ini saya persembahkan kepada:

1. Kedua orang tua saya, Bapak saya Suraji dan Ibu saya Elly Yati, Terimakasih

atas semua dukungan moral maupun material, kasih sayang, kesabaran dan

do'a.

2. Bapak Dr. Abdul Rochim, ST., MT. yang telah meluangkan waktu, tenaga

dan pikirannya untuk memberikan bimbingan pada kami agar bisa

menyelesaikan tugas akhir ini dengan baik.

3. Ibu Ir. Lisa Fitriyana, ST., M.Eng, yang telah meluangkan waktu, tenaga dan

pikirannya untuk memberikan bimbingan pada kami agar bisa menyelesaikan tugas

akhir ini dengan baik.

4. Seluruh dosen Fakultas Teknik Program Studi Teknik Sipil UNISSULA,

terima kasih atas semua ilmunya yang sangat bermanfaat.

5. Keluarga saya, Adik saya Afix Zulfikri yang telah mensupport saya.

6. Sahabat sekaligus partner laporan tugas akhir saya Samsul Ma'arif, terima

kasih atas waktu dan semangatnya sehingga dapat menyelesaikan tugas akhir

ini.

7. Bapak Sutardi dan Satria Hanung P, yang telah membantu kami selama masa

penelitian dan mengolah data.

8. Teruntuk Pacar Saya, Elivstakiky Febriyanti, terimakasih atas dukungan dan

cintanya yang telah menemani Saya untuk menyelesaikan Tugas Akhir ini, semoga

kita selalu bersama dalam meraih mimpi-mimpi kita.

Aqim Setia Aji

NIM: 30202100037

vii

PERSEMBAHAN

Puji syukur ke hadirat Allah SWT, Tuhan pemilik jiwa dan alam semesta yang telah melimpahkan rahmat dan karunia-Nya. Sholawat serta salam selalu tercurahkan kepada Nabi Muhammad SAW, keluarganya, sahabatnya dan juga para pengikutnya. Tugas akhir ini saya persembahkan kepada :

- 1. Kedua orang tua saya, Bapak Kartamin dan Ibu Ikah Atikah, terimakasih atas semua cinta, dukungan moral maupun material, kasih sayang, kesabaran dan do'a yang telah mengantarkanku hingga titik ini.
- 2. Bapak Dr. Abdul Rochim, ST., MT. yang telah meluangkan waktu, tenaga dan pikirannya untuk memberikan bimbingan pada kami agar bisa menyelesaikan tugas akhir ini dengan baik.
- 3. Ibu Ir. Lisa Fitriyana, ST., M.Eng, yang telah meluangkan waktu, tenaga dan pikirannya untuk memberikan bimbingan pada kami agar bisa menyelesaikan tugas akhir ini dengan baik.
- 4. Seluruh dosen Fakultas Teknik Program Studi Teknik Sipil UNISSULA, terima kasih atas semua ilmunya yang sangat bermanfaat.
- 5. Kakak saya Anggini Maulidah, terimakasih atas dukungan moral maupun material, serta nasihat dan semangat yang telah diberikan.
- 6. Keluarga saya, Kedua Adik Saya Fatkha Maulana Sayyid Amin, dan Zulfan Fakhri Amin yang telah mensupport saya.
- 7. Sahabat sekaligus partner laporan tugas akhir saya Akim Setia Aji terima kasih atas waktu dan semangatnya sehingga dapat menyelesaikan tugas akhir ini.
- 8. Bapak Sutardi dan Satria Hanung P, yang telah membantu kami selama masa penelitian dan mengolah data.
- 9. Kepada teman-teman Pondok Pesantren Al-Fattah Terboyo Semarang yang turut memberikan dukungan dan do'a.
- 10. Teman-teman Fakultas Teknik Sipil Angkatan 2021 dan Teman-teman saya diluar kampus yang turut memberikan semangat.
- 11. Teruntuk Pacar Saya, Myra Talitha Wibisono, terimakasih atas dukungan dan cintanya yang telah menemani Saya untuk menyelesaikan Tugas Akhir ini, semoga kita selalu Bersama dalam meraih mimpi-mimpi kita.

Andrianto Fatih Amin

NIM: 30202100031

KATA PENGANTAR

Syukur Alhamdulillah, segala puji bagi Allah SWT, karena hanya dengan rahmat dan karunia – Nya Laporan Tugas Akhir ini dapat terselesaikan dengan baik tentang "EVALUASI PERUBAHAN NILAI CBR TANAH LEMPUNG LUNAK DENGAN PENAMBAHAN MORTAR BUSA", guna memenuhi persyaratan dalam menyelesaikan Program Sarjana Teknik Sipil di Universitas Islam Sultan Agung Semarang.

Pada kesempatan ini, penulis hendak menyampaikan ucapan terimakasih yang sebesar – besarnya kepada semua pihak yang telah mendukung penyusunan Proposal Tugas Akhir ini, yaitu:

- 1. Bapak Dr. Abdul Rochim, S.T., M.T., selaku Dekan Fakultas Teknik serta Dosen Pembimbing Tugas Akhir, yang telah meluangkan waktu, tenaga dan pikiran untuk memberikan bimbingan pada Kami agar bisa menyelesaikan Laporan Tugas Akhir ini dengan baik.
- 2. Bapak M. Rusli Ahyar, ST., M.Eng selaku Ketua Program Studi Teknik Sipil Fakultas Teknik Universitas Islam Sultan Agung Semarang.
- 3. Ibu Lisa Fitriyana, ST., M.Eng selaku Dosen Pembanding Seminar Tugas Akhir, yang telah meluangkan waktu, tenaga dan pikiran untuk memberikan bimbingan pada Kami agar bisa menyelesaikan Laporan Tugas Akhir ini dengan baik.
- 4. Seluruh Dosen Program Studi Teknik Sipil UNISSULA yang telah memberikan ilmunya kepada penulis.
- 5. Semua pihak yang telah membantu dalam penyelesaiakn tugas akhir ini yang tidak dapat kami sebutkan satu persatu.

Penulis menyadari bahwa Laporan Tugas Akhir ini masih banyak kekurangan baik isi maupun susunannya, semoga Proposal Tugas Akhir ini bermanfaat tidak hanya bagi penulis tapi juga bagi para pembaca.

Semarang, Agustus 2025

Penulis

DAFTAR ISI

HALAMAN JUDUL	j
HALAMAN PENGESAHAN	ii
KATA PENGANTAR	ix
DAFTAR ISI	X
DAFTAR TABEL	xiii
DAFTAR GAMBAR	xiv
ABSTRAK	xviii
BAB I PENDAHULUAN	1
1.1. Latar Belakang	1
1.2. Rumusan Masalah	2
1.3. Tujuan Penelitian	2
1.3. Tujuan Penelitian	3
1.5. Manfaat Penelitian	3
1.6. Keaslian Kajian	
1.7. Sistematika Penulisan	
BAB <mark>II</mark> TIN <mark>JA</mark> UAN PUSTAKA	
2.1. Pengertian Tanah	
2.2. Tanah Lempung Lunak	
2.3. Material Penyusun Tanah	
2.4. Klasifikasi Tanah	8
2.4.1. Klasifikasi Tanah Berdasarkan sistem USCS	8
2.4.2. Klasifikasi Tanah AASHTO	11
2.5. Sifat Fisik Tanah	12
2.5.1. Kadar Air (w)	12
2.5.2. Berat Jenis Tanah (Gs)	12
2.5.3. Analisa Saringan	13
2.5.4. Batas – Batas Atterberg	14
2.5.5. CBR (California Bearing Ratio)	15
2.6. Sifat Mekanika Tanah	16
2.6.1. Pemadatan Tanah	16

2.6.2.	Kuat Geser Tanah	17
2.7. N	Iortar Busa	17
2.8. S	tabilisasi Tanah Menggunakan Mortar Foam	18
2.9. D	aya Dukung Tanah	19
2.10. P	enelitian Sebelumnya Yang Serupa	20
BAB III M	IETODELOGI PENELITIAN	24
3.1. L	okasi dan Subjek Penelitian	24
3.2. D	Pesain Penelitian	24
3.3. N	1etode Penelitian	25
3.4. A	lat (<i>Instrumen</i>) dan Bahan	25
3.4.1.	Menyiapkan Alat	25
3.4.2.	Menyiapkan Bahan	29
3.5. T	eknik Pengumpulan Data	29
	eknik Analisis Data	
	aga <mark>n Alur</mark>	
	IA <mark>SIL</mark> DAN PEM <mark>BAHA</mark> SAN	
	Ia <mark>sil P</mark> enelitian	
4.2. <i>P</i>	h <mark>ysic</mark> al Properties Tanah Asli <mark></mark>	32
4.3. A	.nalisa Stabilisasi dengan Mortar Bus <mark>a di</mark> Lab <mark>or</mark> atorium	33
4.3.1.	Grainsize	
4.3.2.	Atterberg Limits	40
4.3.3.	Direct Shear	45
4.3.4.	Proctor Standart	50
4.3.5.	California Bearing Ratio (CBR)	56
4.4. A	khir Pembahasan	67
BAB V PI	ENUTUP	69
5.1. K	esimpulan	69
5.2. Sa	aran	69
DAFTAR	PUSTAKA	vv

DAFTAR TABEL

Tabel 2.1. Simbol USCS	9
Tabel 2.2. Klasifikasi Tanah	10
Tabel 2.3. Kelompok Klasifikasi AASHTO	11
Tabel 2.4. Klasifikasi Tanah Dengan Sistem AASHTO	11
Tabel 2.5. Penelitian Sebelumnya Yang Serupa	20
Tabel 3.1. Mix Design	30
Tabel 4.1. Hasil Pengujian Tanah Asli	32
Tabel 4.2. Hasil Perhitungan <i>Hydrometer Analysis</i> Tanah Asli	33
Tabel 4.3. Hasil Perhitungan <i>Hydrometer Analysis</i> Tanah + MB 10%	34
Tabel 4.4. Hasil Perhitungan <i>Hydrometer Analysis</i> Tanah + MB 15%	34
Tabel 4.5. Hasil Perhitungan <i>Hydrometer Analysis</i> Tanah + MB 20%	35
Tabel 4.6. Hasil Perhitungan <i>Hydrometer Analysis</i> Tanah + MB 25%	35
Tabel 4.7. Hasil Perhitungan Sieve Analys Tanah Asli	36
Tabel 4.8. Hasil Perhitungan Sieve Analys Tanah + Mortar Busa 10%	37
Tabel 4.9. Hasil Perhitungan Sieve Analys Tanah + Mortar Busa 15%	37
Tabel 4.10. Hasil Perhitungan Sieve Analys Tanah + Mortar Busa 20%	38
Tabel 4.11. Hasil Perhitungan Sieve Analys Tanah + Mortar Busa 25%	
Tabel 4.12. Hasil Perhitungan Grainsize Tabel 4.13. Hasil Perhitungan Batas Cair	39
Tabel 4.13. Hasil Perhitungan Batas Cair	40
Tabel 4.14. Hasil Batas Plastis	43
Tabel 4.15. Hasil Indeks Plastisitas	44
Tabel 4.16. Hasil Perhitungan Penembakan Langsung Sampel	46
Tabel 4.17. Hasil Penggambaran Direct Shear	49
Tabel 4.18. Hasil Pengujian Proctor Standart	50
Tabel 4.19. Nilai Perhitungan <i>Proctor Standart</i> TA + MB	52
Tabel 4.20. Hasil <i>Proctor Standart</i> Tanah Asli dengan Campuran	54
Tabel 4.21. Hasil Pengujian CBR Sampel Tanah Campuran MB	56
Tabel 4.22. Data Penetrasi Sampel Tanah Campuran MB	58
Tabel 4.23. Harga CBR Tanah Asli dengan Campuran MB	63

DAFTAR GAMBAR

Gambar 2. 1. Bagan Plastisitas	0
Gambar 2. 2. Mortar Busa1	8
Gambar 3. 1. Peta Lokasi Pengambilan Sampel Tanah2	3
Gambar 3. 2. Bagan Alur penelitian	1
Gambar 4. 1. Grafik Gradasi Butiran	9
Gambar 4. 2. Grafik Liquid Limit Sampel Tanah Asli	-1
Gambar 4. 3. Grafik Liquid Limit Sampel Tanah Campuran MB 10% 4	-1
Gambar 4. 4. Grafik Liquid Limit Sampel Tanah Campuran MB 15% 4	-2
Gambar 4. 5. Grafik Liquid Limit Sampel Tanah Campuran MB 20% 4	-2
Gambar 4. 6. Grafik Liquid Limit Sampel Tanah Campuran MB 25% 4	-2
Gambar 4. 7. Grafik ATL Tanah Asli dan Campuran MB4	4
Gambar 4. 8. Grafik Direct Shear Tanah Asli4	.7
Gambar 4. 9. Grafik Direct Shear Tanah Campuran MB 10%4	.7
Gambar 4. 10. Grafik Direct Shear Tanah Campuran MB 15%4	.7
Gambar 4. 11. Grafik <i>Direct Shear</i> Tanah Campuran MB 20%4	8
Gambar 4. 12. Grafik Direct Shear Tanah Campuran MB 25%4	8
Gambar 4. 13. Grafik Nilai Kohesi TA dan Campuran MB4	.9
Gambar 4. 14. Grafik Wopt Tanah Asli	3
Gambar 4. 15. Grafik Wopt Tanah Campuran MB 10%	3
Gambar 4. 16. Grafik Wopt Tanah Campuran MB 15%5	3
Gambar 4. 17. Grafik Wopt Tanah Campuran MB 20%	4
Gambar 4. 18. Grafik Wopt Tanah Campuran MB 25%	4
Gambar 4. 19. Grafik <i>Proctor Standart</i> dengan Campuran MB	5
Gambar 4. 20 . Grafik Yd Max 100%	5
Gambar 4. 21. Grafik Hasil Penetrasi Tanah Asli	0
Gambar 4. 22. Grafik Hasil Penetrasi 10%	0
Gambar 4. 23. Grafik Hasil Penetrasi 15%	1
Gambar 4. 24. Grafik Hasil Penetrasi 20%	51
Gambar 4. 25. Grafik Hasil Penetrasi 25%	2
Gambar 4. 26. Grafik Nilai CBR Tanah Asli	4

Gambar 4. 27. Grafik Nilai CBR Sampel 10%	. 64
Gambar 4. 28. Grafik Nilai CBR Sampel 15%	. 65
Gambar 4. 29. Grafik Nilai CBR Sampel 20%	. 65
Gambar 4. 30. Grafik Nilai CBR Sampel 25%	. 66
Gambar 4. 31. Grafik Perubahan Nilai CBR Sampel 100%	. 66
Gambar 4. 32. Grafik Perubahan Nilai CBR Sampel 95%	. 67



DAFTAR LAMBANG DAN NOTASI

SiO2	[-]	Silikat
AI2O3	[-]	Aluminat
A	$[m^2]$	Luas
D	[m]	Diameter
c	[kg/cm ²]	Kohesi
Cv	$[cm^2/s]$	Koefisien
W	[%]	Kadar Air
Gs	[-]	Harga berat jenis butiran tanah
e	[-]	Angka pori
σn	[kg/cm ²]	Tegangan normal
σs	[kg/cm ²]	Tegangan geser
Ø	[°]	Sudut geser
γk	[gr/cm ³]	Gamma k <mark>erin</mark> g
n	[%]	Kadar pori
γb	[gr/cm ³]	Gamma basah
$\gamma_{ m w}$	[gr/cm ³]	Gamma Air
HAP	4NISSU	Harga air piknometer
T		Suhu
KL	[%]	Kadar lumpur
t	[s]	Waktu
Gl	[-]	Indeks grup
PL	[%]	Plastic limit
LL	[%]	Liquid limit
ZAV	[-]	Zeri air void
P	[-]	Beban normal
F	[-]	Luas Penampang

DAFTAR SINGKATAN

USCS : Unified Soil Classification System

CBR : California Bearing Ratio

ASTM : American Society for Testing and Materials

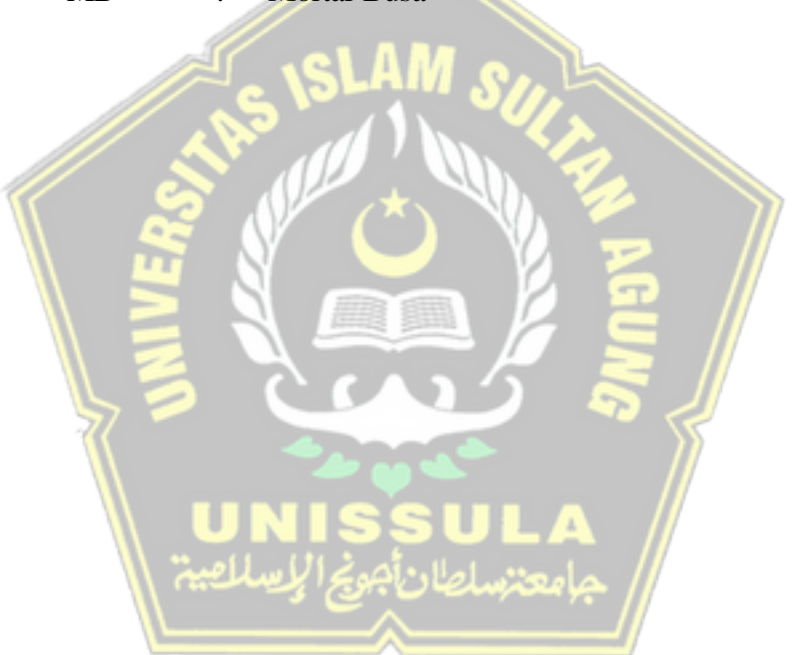
AASHTO: American Aassociation of Sate Highway and Transportation

G : Gravel

S : Sand

F : Fines

MB : Mortar Busa



EVALUASI PERUBAHAN NILAI CBR TANAH LEMPUNG LUNAK DENGAN PENAMBAHAN MORTAR BUSA

Abstrak

Tanah adalah komponen fundamental yang sangat berperan dalam perancangan dan pembangunan struktur, baik untuk konstruksi bangunan maupun jalan. Di Desa Sekaran, Kecamatan Gunung Pati, sering terjadi pergeseran tanah yang berdampak pada kerusakan jalan di wilayah tersebut. Penelitian ini bertujuan untuk menganalisis pengaruh penambahan Mortar Busa pada karakteristik tanah serta mengetahui presentase hasil pengujian CBR pada tanah asli di Desa Sekaran, Kecamatan Gunung Pati, Kabupaten Semarang, dan tanah yang sudah dikombinasikan dengan Mortar Busa.

Pengujian penelitian ini dilaksanakan di laboratorium Unissula dengan metode pengujian yang mencampurkan tanah dengan Mortar Busa dalam berbagai persentase, yaitu 0%, 10%, 15%, 20%, dan 25%. Jenis pengujian yang dilaksanakan mencakup pengujian berat jenis, kadar air, analisis saringan, Atterberg limit, Proctor standart, serta California Bearing Ratio (CBR).

Merujuk pada hasil pengujian laboratorium, penambahan Mortar Busa berpengaruh positif terhadap daya dukung tanah. Semakin tinggi persentase Mortar Busa yang ditambahkan, semakin baik sifat mekanis tanah, yang ditunjukkan dengan peningkatan daya dukung tanah. Hasil pengujian CBR *unsoaked* pada sampel tanah asli serta tanah dengan campuran Mortar Busa pada berbagai persentase (0%, 10%, 15%, 20%, dan 25%) menunjukkan peningkatan nilai CBR *unsoaked* secara bertahap, yaitu 5,6%, 13,1%, 13,4%, 14,3%, dan mencapai 15,5% pada campuran Mortar Busa 25%.

Kata Kunci: Mortar Busa, CBR, Klasifikasi Tanah, Lempung, Daya Dukung Tanah, Stabilitas Tanah

EVALUATION OF CBR VALUE CHANGES OF SOFT CLAY SOIL WITH THE ADDITION OF FOAM MORTAR Abstract

Soil is a fundamental component that plays a very important role in the design and construction of structures, both for building and road construction. In Sekaran Village, Gunung Pati District, there are frequent landslides that have an impact on road damage in the area. This study aims to analyze the effect of the addition of Foam Mortar on soil characteristics and to determine the percentage of CBR test results on native soil in Sekaran Village, Gunung Pati District, Semarang Regency, and soil that has been combined with Foam Mortar.

The research test was carried out at the Unissula laboratory using a testing method that mixed soil with Foam Mortar in various percentages, namely 0%, 10%, 15%, 20%, and 25%. The types of tests carried out include specific gravity, moisture content, sieve analysis, Atterberg limit, Proctor standard, and California Bearing Ratio (CBR).

Referring to the results of laboratory tests, the addition of Mortar Foam has a positive effect on the bearing capacity of the soil. The higher the percentage of Foam Mortar added, the better the mechanical properties of the soil, as indicated by an increase in the bearing capacity of the soil. The results of the unsoaked CBR test on samples of original soil and soil with various percentages of Foam Mortar (0%, 10%, 15%, 20%, and 25%) shows a gradual increase in the unsoaked CBR value, namely 5.6%, 13,1%, 13,4%, 14,3%, and reaching 15.5% in a 25% Foam Mortar mixture.

Keywords: Foam Mortar; CBR; Soil Classification; Clay, Soil Carrying Capacity; Soil Stability

BAB I

PENDAHULUAN

1.1. Latar Belakang

Tanah yaitu aspek krusial dalam perancangan serta pembangunan suatu struktur, baik pada konstruksi gedung maupun jalan. Dalam bidang rekayasa struktur, tanah sering kali menjadi faktor penentu yang dapat memicu permasalahan apabila memiliki sifat yang kurang stabil, seperti tingkat plastisitas yang tinggi atau potensi penyusutan yang besar. Tergantung pada tingkat dampak tanah pada rencana konstruksi, rencana konstruksi harus memperhitungkan tanah. Permasalahan umum dalam konstruksi sipil yang didirikan di atas tanah lunak di suatu area meliputi rendahnya kapasitas daya dukung serta tingkat plastisitas yang tinggi. Tanah dengan karakteristik ini sangat peka terhadap perubahan kadar air, sehingga dapat mengakibatkan ketidakstabilan pada fondasi bangunan selama proses konstruksi. Tanah yang mempunyai batas daya dukung yang layak dapat membatasi bahaya kerusakan jalan di atasnya, sehingga penting untuk memperbaiki (kekuatan) tanah yang memiliki tanah dengan batas daya dukung rendah. (Miswar, 2018)

Daya dukung tanah dasar yang baik akan berpengaruh itensitas waktu kekokohan suatu konstruksi. Karakter dan sifat tanah tidaklah sama pada setiap letak geografis suatu tempat. Bahkan, ada kondisi tanah dengan nilai permeabilitas rendah, plastisitas tinggi, serta penyusutan yang relatif besar, dan kapasitas geser rendah. Daya dukung yang baik diperlukan untuk meminimalisir kerusakan yang terjadi pada struktur di atasnya. (Wismantara & Budiarnaya, 2020)

Tanah lunak subgrade pada konstruksi jalan akan menimbulkan permasalahan jika tidak dilakukan perbaikan terhadap daya dukungnya. Karena daya dukung yang baik subgrade akan dapat memikul beban yang terdapat diatasnya. Perilaku timbunan terhadap beban yang diterimanya akan mempunyai pengaruh terhadap penurunan. Kondisi penurunan pada subgrade juga dipengaruhi keadaan cuaca disekitarnya, yang kadang kala terjadi genangan air (banjir). Alternatif yang dilakukan antara lain dengan melakukan perkuatan terhadap tanah lunak subgrade. Salah satunya dengan menambahkan lapisan perkuatan mortar busa.

Mortar busa adalah material ringan yang yang terdiri dari campuran semen, pasir dan *foam* dengan densitas 0,8 Mpa untuk lapisan bawah dan *subgrade*.(Pratikso & Maizir, H., 2024) Tanah di Kabupaten Semarang sebagian besar berjenis lempung, termasuk di Desa Sekaran, Kecamatan Gunung Pati. Hal ini kerap menjadi salah satu faktor penyebab kerusakan jalan raya di daerah Semarang. Kerusakan yang ada termasuk jalan retak sampai lubang besar meski perbaikan jalanan telah dilakukan baru – baru ini. *Clay* mempunya daya dukung tanah yang rendah ini perlu diberi perlakuan khusus untuk meningkatkan kapasitas kemampuan dukung tanah tersebut (Andiyarto, 2015). Ini mendorong kami untuk melakukan penelitian tentang efek mortar busa yang dicampur dengan tanah di Desa Sekaran, Kec. Gunung Pati, Kab. Semarang, Jawa Tengah.

Dalam penelitian ini, mortar busa akan digunakan sebagai material campuran (stabilisator) dalam meningkatkan karakteristik dan karakteristik tanah pada lempung lunak. Berdasarkan penjelasan tersebut, kami akan melakukan penelitian tentang Penambahan Mortar Busa Untuk Meningkatkan CBR Tanah Lempung Lunak.

1.2. Rumusan masalah

Beberapa permasalahan yang akan menjadi pokok pembahasan dalam penelitian ini, merujuk pada latar belakang yang telah dijelaskan, adalah sebagai berikut:

- Bagaimana karakteristik tanah asli di Desa Sekaran, Kec. Gunung Pati, Kab. Semarang Jawa Tengah?
- 2. Bagaimana karakteristik tanah yang di campur dengan mortar busa?
- 3. Berapa nilai hasil uji CBR (*California Bearing Ratio*) tanah asli serta tanah yang telah dicampurkan dengan mortar busa?

1.3. Tujuan penelitian

Tujuan dari penelitian ini adalah sebagai berikut.

- Menganalisa karakteristik sampel tanah asli yang dipilih dari Desa Sekaran, Kec. Gunung Pati, Kab. Semarang, Jawa Tengah.
- 2. Mengetahui pengaruh campuran bahan mortar busa terhadap karakteristik tanah yang diambil.

3. Menentukan persentase hasil uji CBR pada tanah asli serta tanah yang telah dicampur dengan mortar busa.

1.4. Batasan Masalah

Mempertimbangkan terbatasnya waktu maupun kemampuan terhadap ruang lingkup permasalah yang begitu luas, maka diperlukan pembatasan masalah agar lebih dalam melakukan penelitian yaitu sebagaimana berikut :

- 1. Spesimen tanah yang dianalisis dipilih dari Desa Sekaran, Kecamatan Gunung Pati, Kabupaten Semarang, Jawa Tengah.
- 2. Jenis mortar busa yang digunakan yaitu mortar busa dengan busa kimiawi
- 3. PeneIitian ini dilakukan di laboratorium yang mencakup pengukuran berat Jenis, kadar air, batas *Atterberg*, anaIisa saringan ,*proctor standar*, *direct shear* dan CBR.

1.5. Manfaat penelitian

Manfaat yang didapat daripada penelitian ini yaitu:

- 1. Menyediakan informasi tentang kondisi dan karakteristik tanah yang diteliti.
- 2. Memahami seberapa signifikan dampak yang terjadi setelah penambahan Mortar busa terhadap karakteristik tanah yang sedang diteliti.
- 3. Bisa digunakan sebagai referensi atau bahan evaluasi bagi para pihak yang hendak melaksanakan studi lebih lanjut tentang peningkatan tingkat CBR melalui penambahan mortar busa pada tanah lempung lunak.

1.6. Keaslian Kajian

Tulisan dalam tugas akhir ini merupakan hasil karya asli penulis. Bagian yang memuat referensi dan sumber berisi dalam bentuk teks dan refrensi esai.

1.7. Sistematika Penulisan

Struktur penyusunan dalam Tugas Akhir ini disajikan sebagai berikut:

BAB I PENDAHULUAN

Bab ini menguraikan latar belakang, perumusan masalah, tujuan penelitian, manfaat yang diharapkan, orisinalitas kajian, serta sistematika dalam penulisan.

BAB II TINJAUAN PUSTAKA

Bab ini berisi uraian tentang definisi tanah, jenis tanah Iempung, komponen yang membentuk tanah, klasifikasi tanah, karakteristik fisik tanah, karakteristik mekanik tanah, mortar busa, metode stabilisasi tanah dengan menggunakan mortar busa, kemampuan daya dukung tanah, serta penelitian sebelumnya yang serupa.

BAB III METODOLOGI PENELITIAN

Bab ini tersusun atas metode pengujian tanah, bahan-bahan yang dipergunakan pada penelitian, lokasi penelitian, persiapan peralatan, serta diagram implementasi penelitian.

BAB IV HASIL PENELITIAN DAN PEMBAHASAN

Bab ini menjelaskan mengenai hasil dari penelitian serta diskusi terkait hasil yang sudah diperoleh.

BAB V HASIL PENUTUP

Bagian ini menyajikan hasil penelitian serta ringkasan dari proposal yang berkaitan dengan penelitian tersebut.

Pada bagian penutup tugas akhir ini, terdapat beberapa komponen yaitu daftar pustaka, hasil penelitian, dan lampiran-lampiran. Daftar pustaka mencakup berbagai referensi yang digunakan, seperti jurnal dan buku yang relevan dengan penelitian. Sementara itu, lampiran berisi analisis akhir serta data yang telah melalui proses pengolahan.

BAB II

TINJAUAN PUSTAKA

2.1. Pengertian Tanah

Tanah di alam terbentuk dari campuran partikel mineral yang mungkin mengandung bahan organik maupun non-organik. Partikel-partikel ini dapat dengan enteng dibedakan satu dengan yang lain melalui cara dikocok menggunakan air. Bahan ini terbentuk dari proses pelapukan batu, baik melalui cara fisik maupun proses kimia. Karakteristik teknis dari tanah, tidak terkecuali terpengaruh oleh elemen eksternal yang menyebabkan terjadinya pengikisan pada batuan tersebut. Menurt (Leliana & Andajani, 2015), Secara konsep, tanah tersusun atas tiga unsur utama, yaitu air, udara, dan partikel padat.

Tanah dapat dijelaskan sebagai suatu material yang dibentuk oleh partikel mineral yang tidak terikat secara kimia dan juga bahan organik yang telah melalui proses pelapukan, ditambah dengan cairan serta gas yang mengisi ruangan yang terdapat antar partikel padat itu. (Isbusandi, 2018)

Karakteristik tanah berbeda-beda di setiap lokasi. Tidak semua jenis tanah memiliki daya dukung yang baik, karena banyak yang mengandung mineral dan bahan organik tetapi kurang kuat, sehingga tidak mampu menahan beban atau tekanan di atasnya. Kerusakan pada struktur di tanah yang ada di atas bisa disebabkan oleh kondisi tanah aslinya. Masalah yang muncul antara lain adalah penurunan, pengenduran, dan peningkatan ukuran tanah. Tanah yang sering menimbulkan kerusakan pada bangunan atas adalah jenis tanah ekspansif.(Rusdiansyah, 2018)

Stabilisasi tanah merupakan proses *mix* tanah dengan *Additional material* yang bertujuan untuk untuk meningkatkan sifat teknisnya sehingga memenuhi standar yang telah ditentukan. Syarat/kriteria teknis yang diperlukan untuk meningkatkan efisiensi konstruksi meliputi: kemampuan dukung tanah, ketahanan geser tanah, penurunan (*settlement*), pelawanan aliran tanah, dan berbagai faktor lainnya.. (Kurniawan et al., 2016)

Bowles (1994) menyatakan bahwa tanah merupakan perpaduan berbagai partikel yang tersusun atas salah satu atau kombinasi dari beberapa jenis berikut:

- 1. BerangkaI (*bouIders*) merupakan partikel besar dari batuan, biasanya dengan dimensi Iebih dari 250 hingga 300 mm, sedangkan kerakal berukuran yang berkisar antara 150 hingga 250 mm.
- 2. Kerikil (*gravel*) adalah partikel batu dengan ukuran antara 5mm hingga 150 mm.
- 3. Pasir (*sand*) yaitu pecahan butiran batu yang memiliki ukuran antara 0,074 sampai 5 mm, dengan variasi mulai dari yang kasar dengan dimensi 3 hingga 5 mm hingga yang lebih halus dengan ukuran kurang dari 1 mm.
- 4. Lanau (*slit*), merupakan butiran batuan dengan ukuran sangat kecil berkisar antara 0,002 hingga 0,0074 mm.
- 5. Lempung (*clay*), adalah komponen utama yang memberikan sifat kohesif pada tanah, terdiri dari partikel mineral dengan ukuran kurang dari 0,002 mm.
- 6. Koloid (*colloids*) adalah partikel mineral yang memiliki ukuran tetap dan sangat halus, dengan diameter kurang dari 0,001 mm.

Sementara sifat fisik tanah selalu ada saat tanah kering dan basah, keduanya membentuk partikel tanah yang sama. Hal ini menyebabkan diperlukan gaya dalam memisahkan tanah saat keadaan kering, sehingga tanah tersebut dikategorikan sebagai kohesif. Menurut (Bowles 1991), partikel-partikel tanah akan terpisah setelah mengalami pengeringan, sedangkan tanah akan saling menempel saat basah karena adanya tegangan permukaan air, sehingga tanah tersebut tidak bersifat kohesif. Tanah kohesif bisa bersifat kaku atau menyerupai cairan kental, tergantung pada kadar air di dalamnya. Selain itu, tanah ini tidak memiliki perbedaan yang tegas antara kondisi plastis dan non-plastis, karena sifat plastisnya tidak selalu muncul pada setiap tingkat kelembaban.

2.2. Tanah Lempung Lunak

Tanah lempung tersusun atas kumpulan partikel mikroskopis dan submikroskopis yang terbentuk sebagai hasil perubahan kimiawi komponen batuan. Tanah ini menunjukkan sifat plastis pada kisaran kadar air sedang hingga tinggi. Ketika mengering, tanah liat menjadi sangat keras dan sulit dihilangkan dengan tangan. Selain itu, tanah lempung mempunyai permeabilitas yang sangat rendah. (Taffarel, Javier Yusuf., & Herdianto, 2022).

Tanah lempung merupakan tanah yang ukurannya lebih kecil dari 0,002 mm dan mengandung partikel tertentu yang membentuk sifat plastis pada tanah jika bercampur dengan air. (Braja M. Das, 1995).

Menurut Hardiyatmo (1992), tanah lempung memiliki mineral yang bersifat ekspansif, terutama karena kandungan montmorillonitnya yang memiliki luas permukaan lebih besar dan mampu mengisap air dalam kadar yang besar dibandingkan dengan jenis tanah mineral lainnya. Tanah ini sangat sensitif terhadap air dan menunjukkan tingkat ekspansivitas yang tinggi. Potensi pengembangannya berkaitan erat dengan indeks plastisitas, sehingga tanah ini dapat diklasifikasikan berdasarkan potensi pengembangannya menggunakan indeks tersebut (Miswar et al., 2018). Hardiyatmo, (1992) juga mengidentifikasi beberapa karakteristik tanah lempung, antara lain:

- 1. Ukuran butiran halus kurang dari 0,002 mm.
- 2. Memiliki tingkat permeabilitas yang rendah
- 3. Menunjukkan kohesi yang sangat tinggi.
- 4. Memiliki laju kenaikan kapiler sangat tinggi.
- 5. Persentase kadar susut yang besar.
- 6. Proses penurunan berlangsung secara lambat

2.3. Material Penyusun Tanah

Tanah terdiri dari berbagai material dengan sifat yang beragam, baik homogen maupun heterogen. Ada empat komponen utama yang membentuk tanah, antara lain:

- 1. Bahan organik, yang berasal dari dekomposisi dan pelapukan sisa-sisa hewan serta tumbuhan yang telah mati dalam waktu lama atau dapat diartikan sebagai hasil penguraian material organik.
- 2. Partikel Mineral, yang terbentuk melalui proses erosi batuan yang telah ada sejak lama, cara batuan tersebut terurai akan mempengaruhi jenis tanah yang terbentuk serta variasi mineral yang terkandung di dalamnya, sehingga menciptakan berbagai tipe dan variasi tanah.

- 3. Air, keberadaan air dalam tanah sangat menentukan karakteristik fisik dari tanah tersebut, air dapat tertahan dalam tanah karena kohesi, adhesi, dan gaya gravitasi, serta jumlah air yang memenuhi pori-pori tanah dipengaruhi oleh kepadatan pada pori tanah itu sendiri. Inilah yang mengakibatkan adanya pengelompokan jenis-jenis tanah yang berbeda.
- 4. Udara dan air yang mengisi rongga-rongga tanah mencakup hampir setengah dari total volume tanah. Besaran ini dapat berubah-ubah sesuai dengan pengaruh iklim dan situasi cuaca.

2.4. Klasifikasi Tanah

Klasifikasi tanah merupakan proses penggabungan berbagai jenis tanah dengan karakteristik yang sama ke dalam kelompok dan berdasar pada fungsinya. Sistem ini dirancang untuk menyediakan informasi tentang karakteristik fisik dan sifat tanah. Mengingat adanya perbedaan yang signifikan dalam karakteristik dan perilaku tanah, Sistem klasifikasi biasanya membagi tanah ke dalam kelompok umum berdasarkan persamaan sifat fisiknya. Selain itu, klasifikasi tanah juga berperan dalam analisis lebih mendalam mengenai kondisi tanah serta menentukan Pengujian harus mencakup sifat teknisnya, seperti karakteristik pemadatan, kekuatan tanah dan berat satuan. (Amania, Fatma Sarie, 2022)

2.4.1. Klasifikasi Tanah Berdasarkan Sistem USCS (Unifiel Soil Classification System)

USCS berdasarkan ASTM D 2487, digunakan dalam bidang teknik untuk mengklasifikasikan tanah berdasarkan ukuran partikel, ukuran butiran, dan tingkat plastisitasnya. Sistem ini pertama kali dikembangkan oleh Casagrande pada tahun 1942 untuk mendukung konstruksi lapangan terbang oleh Korps Zeni Angkatan Darat selama Perang Dunia II. Kemudian, pada tahun 1952, sistem ini mengalami penyempurnaan oleh Kantor Rekonstruksi Amerika Serikat. Saat ini, USCS banyak diterapkan oleh para insinyur di berbagai negara, termasuk Indonesia, yang telah mengadaptasi standar ASTM D 2487 ke dalam SNI 03-6371-2000 (Mulyono, 2022). Sistem ini mengelompokkan tahan menjadi 2 (dua) kategori utama, yaitu:

1. Tanah berbutir-kasar (coarse-grained-soil)

- a. Tanah kerikil dan pasir yang mana <50% berat total sampel tanah dapat melewati saringan Nomor 200.
- b. G untuk kerikil (*gravel*) dan S untuk pasir (*sand*) atau tanah berpasir adalah symbol yang dipergunakan dalam kategori ini.
- 2. Tanah bertekstur halus (fine-grained soil)
 - a. Tanah di mana lebih dari setengah berat total sampel tanah dapat melewati saringan no. 200
 - b. Tanda dalam kategori ini diawali dengan huruf M untuk lanau anorganik, huruf C untuk lempung anorganik, dan 0 untuk lanau organik serta lempung organik. Simbol PT dipergunakan dalam mengidentifikasi lahan gambut, lempung serta jenis tanah lainnya yang memiliki kandungan bahan organik tinggi.
 - c. Simbol lain yang dipergunakan dalam klasifikasi USCS meliputi:

Tabel 2.1. Simbol USCS

Simbol Deskripsi

W well graded (bergradasi baik)

P poorly graded (bergradasi jelek)

L plastisitas rendah (batas cair kurang dari 50)

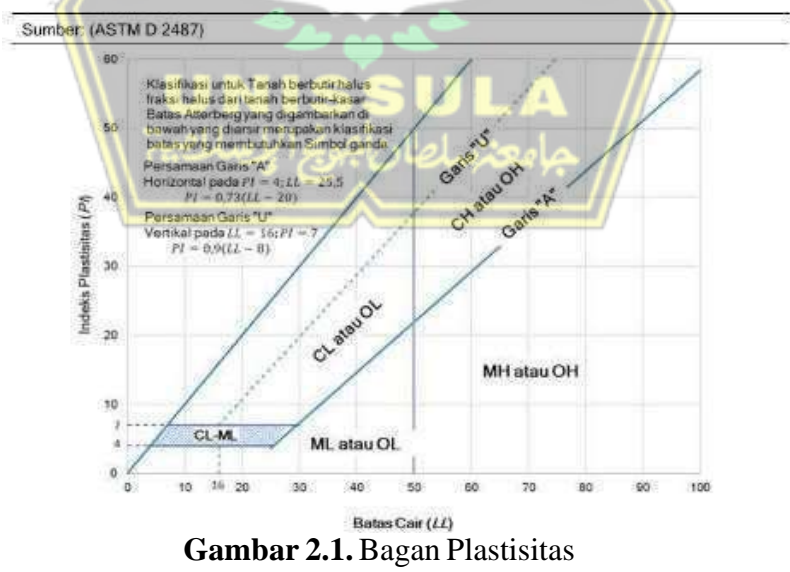
H plastisitas tinggi (batas cair lebih dari 50)

(Sumber: DAS, 1995)

Tabel 2.2. Klasifikasi Tanah

Kriteria untuk menetapkan Simbol-Simbol dan Nama-						Klasifikasi Tanah		
nama g	rup menggur	nakan	pengujiar	Laboratorium ⁴	Simbol	Nama Grup ⁸		
TANAH BERBUTIR KASAR	Kerikil	Kerikil bersih		$C_{\mu} \ge 4 \text{ dan}$ $1 \le C_{c} \le 3^{C}$	GW	Kerikil bergradasi baik ^o		
7720	ingan	Butiran halus < 5%#		Cu < 4 dan/atau $1 \le C_c \le 3^C$	GP	Kerikil bergradasi jelek ^o		
Sempar	Lebth Dan 50% Material Tertahan Pada Saringan No. 4 (4,75 mm.)	Kerikil dengan butir halus ≤ 12%		Butiran halus diklasifikasikan sebagai ML atau MH	GM	Kerikil kelanauan (silty graveh ^{©,F,G}		
Lebih Dari 50% Material Tertahan Pada Saringan No. 200 (0,075 mm)	Lebih Da Tertahan No. 4 (4.)	Kerikil dengan butir halus > 12% #		Butiran halus diklasifikasikan sebagai CL atau CH	sc	Kerikil lempungan (clayey gravel)		
Material Tertahan P No. 200 (0,075 mm)	Pasir	Pasir	bersih	$C_u \ge 6 \text{ dan}$ $1 \le C_c \le 3^C$	sw	Pasir bergradasi baik"		
% Mater No. 20	n No.	Butiran halus < 5%/		$C_u < 6$ dan/atau $1 \le C_c \le 3^C$	SP	Pasir bergradasi jelek#		
h Dari 50	Lebih Dari 50% Material Idos Pada Saringan No 4 (4,75 mm)	Pasir dengan butir halus ≤ 12%/		Butiran halus diklasifikasikan sebagai ML atau MH	SM	Pasir kelanauan (<i>silty sand</i>)FRH		
号	Lebih Dari 5 lolos Pada S 4 (4,75 mm)	Kerikil dengan butir halus > 12%/		Butiran halus diklasifikasikan sebagai CL atau CH	sc	Pasir lempungan (clayey sand)F.Q.H		
TANAH BERBUTIR HALUS	0)	Von-Organik	PI > 7, s atas gari	aat di Plot pada/atau di a "A"-/	CL	Lempung kurus		
DE G	empun S0	Non-C	PI < 4, saat di Plot di bawah garis "A" /		ML	Lanau KAM		
la Sarin	Lanau dan Lempung Batas cair < 50	udanl	Organik		s cair - kering - Tidak kering oven	OL	Lempung organik	
MIM.	Bata Bata		-1/	I BA		Lanau Organik		
Material lolos Pa 200 (0,075 mm)	Janev dan Lempung Balas ceir ≥ 50	//~	Ť	anik	PI saat di Plot pada/atau di atas garis "A"		CH	Lempung gemuk
50% Mate No. 200		Non-Organik	PI saat di Plot di bawah garis "A"		MH	Lanau elastis ****		
Lebin Don 50% Material lolos Pada Saringan No. 200 (0,075 mm)	udan Lem cosir≥50			s cair = kering - Tidak kering oven < 0,75	ОН	Lempung organik		
	Laneu Batas (Organik				Lanau organik		
TANAH DRGANIK YANG TINGGI	Secara prime gelap dan be			it organik, berwama janic odor)	BT -	Gambut		

(Sumber : DAS, 1995)



(Sumber : DAS, 1995)

2.4.2. Klasifikasi Tanah AASHTO (American Association Of State Highway and Transportation Official)

Sistem klasifikasi ini diformulasikan sejak tahun 1929. Sistem ini telah melalui banyak pembaruan, varian yang saat ini diterapkan adalah yang dikemukakan oleh *Committee on Classification of Materials for Subgrade and Granular Type Road of the Highway Research Board* pada tahun 1945 (ASTM Standard No D-3282, AASHTO metode M145). Menurut (Mulyono, 2022) Sistem klasifikasi AASHTO, tanah dikelompokkan menjadi tujuh kelompok besar, yaitu A-1 sampai dengan A-7.

Tabel 2.3. Kelompok Klasifikasi AASHTO

Kelompok	Deskripsi
A-1, A-2, dan A-3	tanah berbutir di mana 35% atau kurang dari jumlah butiran tanah tersebut lolos ayakan No. 200
A-4, A-5, A-6, dan A-7	Tanah di mana lehih dari 35% butirannya lolos ayakan No. 200 (sebagian besar adalah lanau dan lempung)

(Sumber : DAS, 1995)

Tabel 2.4. Klasifikasi Tanah Menggunakan Sistem AASHTO Berdasarkan AASHTO M 145 atau ASTM D 3282

Klasifikasi umum	Tana	h berbutir a	(C)	ar (≤ 35% t 0 atau 0,079		uji lolos a	yakan	Material lanau-lempung (> 35% total contoh uji lolos ayakan No.200 (0,075 mm)			
Kelompok Klasifikasi	A-1		-	A-2							A-7
	A-1-a	A-1-b	A-3	A-2-4	2-4 A-2-5 A-2-6 A-2-7	A-4	A-4 A-5	A-6	A-7-5*, A-7-6*		
Prosentase lolos ayakan	١ .		111					1			5
No. 10 (2 mm)	Maks 50	لمكاييم	والركي	ناجوء	سلطاه	امعت	/ حم	/			
No. 40 (0,425 mm)	Maks 30	Maks 50	Min 51) <			• //	1			
No. 200 (0,075 mm)	Maks 15	Maks 25	Maks 10	Maks 35	Maks 35	Maks 35	Maks 35	Min.36	Min.36	Min.36	Min.36
Karakteristik yang lolos butir lolos No. 40 (0,425 mm) Batas cair (LL)				Maks 40	Min 41	Min 40	Min 41	Maks 40	Min 41	Min 40	Min 41
Indeks Plastisitas (PI)	Ma	aks 6	NP	Maks 10	Maks 10	Maks 11	Min 11	Maks 10	Maks 10	Maks 11	Min 11
Jenis material yang dominan	Batu pecah, kerikil, Pasir Kerikil dan pasir kelanauan atau berlempung dan pasir halus				Tanah k	elanauan	Tanah be	rlempung			
Indeks Group	0		0	0		Maks	s 4	Maks 8	Maks 12	Maks 16	Maks 20
Penilaian Sebagai tanah Dasar	Baik sekali sampai baik					Biasa sampai jelek					

Sumber: (Samtani & Nowatski, 2006)

*Untuk A-7-5, $PI \leq LL - 30$ dan A-7-6, PI > LL - 30

(Sumber : DAS, 1995)

Sistem klasifikasi AASHTO didasarkan pada kriteria berikut (Samtani & Nowatski, 2006):

- 1. Ukuran partikel-partikel tanah
 - a) Kerikil: Bagian yang melewati ayakan 75 mm (3 in) tertahan di ayaka No.
 10. (2mm).
 - b) Pasir : Fraksi yang melewati ayakan No. 10 (2 mm) dan disimpan dalam saringan No. 200 (0,075 mm).
 - c) Lumpur dan Lanau : fraksi yang lolos ayakan no.200.
- Plastisitas: Jika indeks plastisitas tanah yang baik yaitu ≤ 10, maka tanah tersebut disebut tanah berlumpur. tanah lempung yang mempengaruhi tanah berbutir halus mempunyai indeks plastis 11 atau lebih tinggi.
- 3. Batu besar (*boulder*) dan kerikil (*cobbles*) yang lebih besar dari 75 mm wajib dibedakan dari sampel tanah yang akan diklasifiksikan.

2.5. Sifat Fisik Tanah

Sifat fisik tanah menggambarkan situasi alami tanah yang dapat dipergunakan sebagai dasar dalam mengidentifikasi berbagai jenisnya.

2.5.1. Kadar Air (w)

Kadar air (w) yaitu rasio antara berat air terhadap berat butiran tanah yang ditentukan dalam persentase (%) (Isbusandi et al., 2018).

Kadar air dihitung dengan rumus:

$$w = \frac{(w_1 - w_2)x \, 100\%}{w} \tag{2.1}$$

Keterangan:

- W = kadar air (%)
- W1 = Massa air yang terkandung dalam tanah (dalam garam)
- W2 = Massa tanah kering (dalam garam)

2.5.2. Berat Jenis Tanah (Gs)

Berat jenis tanah merupakan analisis komparasi antara berat partikel tanah dan berat air saat volume dan suhu yang setara (Isbusandi et al., 2018).

Rumus berat jenis tanah (Gs) adalah:

$$Gs = \frac{Ps}{Pw} \tag{2.2}$$

Keterangan:

- GS = Berat Jenis Tanah (tanpa satuan, karna perbandingan massa dua jenis)
- Ps = Massa jenis partikel tanah (dalam satuan g/cm³)
- Pw = Massa jenis air pada suhu 4°C (1 g/cm³).

2.5.3. Analisa Saringan

Analisis saringan melibatkan penyaringan dan mengoyangkan sampel tanah melewati serangkaian saringan dengan lubang yang semakin mengecil. Sisa tanah pada setiap saringan ditimbang, lalu dihitung persentase berat kumulatifnya. Metode analisis saringan ini dipergunakan dalam mengetahui ukuran butiran yang mempunyai diameter lebih dari 0,075 mm. Dalam menentukan distribusi ukuran partikel dalam tanah, terdapat dua metode yang dapat digunakan (Miswar et al., 2018). Keduanya yaitu:

a. Analisa Ayakan (Grain Size)

Analisis saringan (sieve analys) adalah suatu percobaan yang melibatkan penyaringan sampel tanah melalui serangkaian saringan, yang lubang-lubangnya secara bertahap mengecil ke arah bawah. Metode ini biasanya diterapkan untuk memisahkan partikel atau bahan dengan ukuran diameter ≥ 0,075 mm. Proses ini dilakukan dengan menyaring tanah menggunakan serangkaian saringan bertingkat, di mana saringan dengan lubang terbesar berada di bagian atas dan ukuran lubangnya semakin kecil ke bawah. Tanah yang tertahan di setiap saringan mewakili ukuran tertentu dari sampel tanah. Pada praktiknya, metode ini hanya mengelompokkan sebagian tanah yang terjebak di antara dua ukuran saringan (Hanafiah, 2010).

Prosedur perhitungannya adalah sebagai berikut :

1. Berat spesimen sebelum dicuci = A gram

2. Berat spesimen setelah dicuci = B gram

Berat lumpur = berat spesimen yang lolos saringan no. 200 A – B

3. Volume Berat tanah yang tertahan pada saringan ukuran Ø 4,76 mm

hingga Ø 0,075 mm = C gram

kehilangan volume = B - C gram

4. Kadar Iumpur dengan α = berat tanah yang tertahan pada alas saringan

5. Persentase tanah yang tertahan $= \frac{berat \ sampel \ yang \ tertinggal}{A} x \ 100\%$

6. Kumulatif persentase tanah yang tertahan

= JumIah + presentase tanah diatasnya

7. Persentase finer (lolos) = (100% – kumulatif presentase tanah tanah yang tertahan)

b. Analisa Hidrometer

Uji hidrometer adalah cara yang dipergunakan dalam menentukan distribusi ukuran butiran tanah dengan mengamati proses pengendapannya dalam air. Pengujian ini juga dikenal sebagai uji sedimen dan bertujuan untuk mengukur distribusi ukuran partikel pada tanah bertekstur halus.

Uji *analisys hydrometer* ditentukan oleh pengendapan partikel tanah atau dengan proses pengendapan. Metode ini didasarkan pada hukum *stokes* tentang laju partikel mengendap dalam suspensi dalam larutan. Persamaan yang bisa dipergunakan sebagai berikut:

Presentase butiran N = $\frac{Setelah\ pembacaan}{Jumlah\ selisih\ pembacaan}x\ Kadar\ Lumpur$

Dengan Ketentuan:

KL = nilai kadar lumpur (berat lumpur)

D = nilai diameter, dihitung dengan rumus $(106.10^{-7} \text{ z/t})^{t/2}$

t = waktu dalam detik

 $Z = 24 - \alpha (0,2)$

α = jumlah strip pada setiap pembacaan

2.5.4. Batas – batas Atterberg

Atterberg salah satu metode untuk mendeskripsikan konsistensi tanah berdasarkan kadar airnya. Batas tersebut meliputui batas cair (*Liquid Limit*), batas plastis (*Plastic Limit*), dan indeks plastisitas (*Plasticity Index*) (Kusuma et al, 2018).

a. Batas Cair (*Liquid limit – LL*)

Batas cair (*Liquid Limit*), WL adalah kuantitas air tertentu yang mana tanah mengalami transisi dari kondisi plastis ke cair. Pada tingkat kelembapan ini,

tanah memiliki kekuatan geser paling rendah.

b. Batas Plastis (*Plastic Limit – PL*)

Batas plastis (*Plastic Limit*), wp adalah kuantitas air minimum yang mana tanah tetap menunjukkan sifat plastis. Sifat plastis ini ditentukan ketika tanah yang digulung menggunakan telapak tangan di atas permukaan kaca mulai retak sesudah memperoleh diameter sekitar 1/8 inci.

c. Indeks Plastis (*Plasticity Index* – PI)

Indeks plastisitas menggambarkan rasio antara batas cair (LL) dan batas plastis (PL) suatu tanah, yang dinyatakan dalam rumus PI = LL - PL. Indeks ini digunakan untuk menentukan tingkat plastisitas tanah. Tanah yang mengandung banyak partikel lempung umumnya memiliki nilai PI yang tinggi, sedangkan tanah dengan PI rendah biasanya lebih didominasi oleh lanau, memiliki kadar air lebih sedikit, dan cenderung lebih kering.

2.5.5. CBR (California Bearing Ratio)

CBR adalah rasio antara beban penetrasi suatu material dan material yang standar pada kedalaman serta laju penetrasi yang setara. Pengujian CBR dilaksanakan untuk menemukan daya dukung maksimum tanah dalam kondisi padat. Tes ini bertujuan untuk menemukan nilai CBR pada tanah yang telah dimampatkan di laboratorium dengan kadar air optimum (W_{opt}). Selain itu, pengujian ini juga digunakan dalam memahami korelasi antara kadar air dan tingkat kepadatan tanah (Yulianti et al., 2023).

Berdasarkan cara pengambilan sampel tanah, uji CBR dapat dikategorikan sebagai berikut:

- 1. Uji CBR di lokasi
- 2. Uji CBR dilokasi dengan rendaman
- 3. Uji CBR terencana, yang dilakukan pada titik tertentu atau di laboratorium, terdiri dari dua jenis:
 - CBR laboratorium dengan rendaman
 - CBR laboratorium tanpa rendaman

Nilai CBR (California Bearing Ratio) dinyatakan dalam persentase dan digunakan untuk mengukur kekuatan tanah. Pengujian ini dilakukan dengan membandingkan tekanan yang dibutuhkan untuk menekan tanah menggunakan

piston berdiameter 3 inci pada kecepatan penetrasi 0,05 inci per menit dengan tekanan yang dibutuhkan untuk melewati material standar. Sebagai acuan, material batu pecah yang punya kualitas tinggi digunakan dalam pengujian dengan asumsi nilai CBR sebesar 100%.

Nilai CBR =
$$\frac{Nilai\ beban\ uji}{Nilai\ beban\ standar} x\ 100\%$$

Dengan kata lain, nilai CBR menunjukkan seberapa baik kualitas tanah dasar jika dikomparasikan dengan material standar. Sebagai acuan, batu pecah memiliki nilai CBR sebesar 100% dalam kemampuannya menahan beban lalu lintas (Yohanes et al., 2020).

2.6. Sifat Mekanika Tanah

Sifat mekanik tanah mengacu pada karakteristik tanah saat menerima beban, yang menjadi parameter penting dalam perencanaan pondasi.

2.6.1. Pemadatan Tanah

Pemadatan tanah adalah suatu tahapan meningkatkan kepadatan tanah dengan mendekatkan antara partikel-partikelnya, akibatnya volume udara di dalam tanah menjadi berkurang. Secara sederhana, pemadatan adalah proses mekanis yang bertujuan mengeluarkan udara dari rongga-rongga tanah. Di laboratorium, pengujian untuk mengontrol kualitas dilakukan dengan memadatkan sampel tanah menggunakan metode tumbukan (dinamis), alat kompresi, atau tekanan statis melalui piston dan mesin penekan.

Pemadatan bertujuan untuk meningkatkan karakteristik teknis tanah. Beberapa manfaat yang dapat diperoleh dari proses ini meliputi:

- 1. Mengurangi terjadinya *subsidence*, yaitu pergerakan vertikal yang terjadi pada komposisi tanah
- 2. Meningkatkan kekuatan tanah.
- 3. Mengoptimalkan kadar air dalam tanah.
- 4. Meningkatkan berat isi kering dengan metode Proctor yang mempertimbangkan angka pori.

Saat proses pemadatan tanah, air ditambahkan untuk melembabkan partikel tanah, sehingga mereka dapat bergerak lebih leluasa dan saling mendekat dengan lebih rapat. Dengan tingkat pemadatan yang relative sama, berat volume kering

tanah (γ k) akan meningkat seiring bertambahnya kadar air. Namun, setelah menyentuh titik berat volume kering maksimum (γ k max) pada kadar air optimum (W_{opt}), penambahan air justru menyebabkan penurunan nilai γ k. Hal ini terjadi karena kelebihan air mengisi ruang pori dalam tanah yang seharusnya dapat ditempati oleh partikel padat (Yohanes et al., 2020).

2.6.2. Kuat Geser Tanah

Pengujian kuat geser tanah merupakan metode dalam mengukur seberapa besar kekuatan geser tanah dengan cara ril. Spesimen yang dipergunakan dalam pengujian ini biasanya berasal dari tanah yang tidak begitu mampat, seperti tanah lunak dengan kandungan lempung yang tinggi. Ketepatan hasil pengujian sangat bergantung pada perawatan sampel sebelum uji dilakukan, terutama untuk sampel yang diambil dalam kondisi asli (undisturbed). Dalam hal ini, struktur tanah serta kadar air harus tetap dipertahankan sebagaimana kondisi di lokasi aslinya (Craig, 1991).

Kekuatan geser (*direct shear*) tanah diukur memakai 2 parameter tanah yaitu kohesi (c) atau gaya tarik menarik antar partikel. Parameter ini diperoleh dengan melakukan uji laboratorium. Pengujian kuat geser tanah di laboratorium dapat dilaksanakan menggunakan pelbagai peralatan uji untuk menentukan sudut geser dalam (φ) atau gesekan antar butiran tanah. Berdasarkan teori Mohr, penyebab keruntuhan material adalah kombinasi kritis antara tegangan normal dan tegangan geser. (Prihatin, 2014)

2.7. Mortar Busa

Mortar Busa ini adalah penggunaan yang optimal dari busa dan mortar berkekuatan tinggi (pasir, semen dan air), sehingga sangat ideal untuk fondasi tanah lunak atau perkerasan yang dikembangkan sebagai Pusat Jalan dan Jembatan (PUSJATAN) yang sekarang menjadi Bina Teknik Jalan dan Jembatan (BINTEK JATAN).Mortar Busa, kepadatan maksimum lapisan dasar adalah 0,8 t/m³, UCS minimum adalah 2000 kg/cm², dan kepadatan maksimum adalah 0,6 t/m³, dan lapisan dasar bawah dengan UCS minimum 800 kPa. Mortar Busa juga memiliki sifat dapat memadat sendiri.(Wibowo Agus, 2022)



Gambar 2.2. Mortar Busa

(Sumber: dokumentasi pribadi, 2025)

2.8. Stabilisasi Tanah Menggunakan Mortar Busa

Mortar busa tersusun atas bahan – bahan agregat halus,semen,air dan *foam agent*. Tujuan dari penelitian ini adalah untuk mengetahui kuat tekan dan kuat tarik belah dari beton busa dengan variasi foam agent yang digunakan dan juga pengaruh dari agregat halus yang digunakan yaitu pasir abu batu. (Maria Deolinda Bere, Bertinus Simanihuruk, Hikma Dewita, 2021)

Merujuk Spesifikasi Khusus Interim Material Ringan Mortar Busa (Bina Marga, 2017), yang dimaksud dengan bahan material ringan mortar-busa adalah bahan adukan (mortar) yang merupakan campuran dari pasir, semen, air dan busa (foam) yang memiliki sifat memadat sendiri(*self compacted*) dan berfungsi sebagai bahan pengganti tanah; memiliki kekuatan tekan bebas (UCS) dan densitas kering material campuran.

Solusi penimbunan di atas tanah lunak di Indonesia sudah dilakukan dengan beberapa cara salah satunya adalah penggunaan material ringan sebagai timbunan di atas tanah lunak. Material ringan yang terdiri dari campuran pasir, air, semen, dan foaming agent merupakan salah satu alternatif solusi penimbunan di atas tanah lunak, dengan berat isi yang ringan yaitu 0,5 t/m³ - 1,2 t/m³ akan mengurangi tegangan tanah dasar , mengurangi besarnya penurunan dan memiliki stabilitas yang baik karena bersifat kaku seperti beton. Adapun mengetahui timbunan tersebut aman atau tidak, yaitu dengan mencari nilai *safety factor* atau faktor keamanan pada timbunan ringan tersebut . Umumnya lapisan tanah yang disebut lapisan tanah lunak

merupakan lanau (*silt*) dan lempung (*clay*). Tanah jenis ini memiliki sifat mekanik yang kurang baik. Selain itu, tanah lunak memiliki kadar air yang tinggi, kompresibilitas tinggi.(Nur Laeli, 2017)

2.9. Daya Dukung Tanah

Salah satu masalah yang kerap muncul pada tanah dasar yaitu ketidak seragaman daya dukung tanah itu sendiri plastis menjadi keadaan semi-plastis, sedangkan batas cair merupakan kadar air minimum yang menyebabkan tanah berubah dari keadaan plastis menjadi keadaan cair. (Utami et al., 2021)

yang dapat disebabkan oleh perbedaan karakteristik tanah di lokasi yang berdekatan dan kesalahan dalam melakukan pelaksanaan yang mengakibatkan kepadatan tanah yang kurang optimal. Oleh karena itu, stabilisasi dan pemadatan tanah sangat dianjurkan untuk meningkatkan kualitas konstruksi tanah dasar. Pemadatan sendiri merupakan proses yang menggunakan tenaga dinamis untuk memperpadat tanah sekaligus mengeluarkan udara di dalamnya tanpa mengubah kadar air tanah tersebut (Wismantara & Budiarnaya, 2020).

Daya dukung tanah berperan penting dalam menentukan jenis fondasi yang akan digunakan. Untuk menilai daya dukung tanah, dapat dilakukan berbagai uji mekanis seperti uji Sondir, Standard Penetration Test (SPT), dan California Bearing Ratio (CBR). Pada tanah lempung lunak yang memiliki daya dukung cukup baik pada kedalaman lebih dari 10 meter, diperlukan fondasi dengan kedalaman yang memadai, seperti tiang pancang, bored pile, atau caisson. Kondisi ini umumnya ditemukan pada proyek pembangunan gedung bertingkat yang memiliki beban berat dan eksentrisitas besar. Sementara itu, dalam proyek pembangunan jalan, daya dukung tanah menentukan jenis material yang digunakan sebagai fondasi jalan yang berada di atas lapisan *subgrade*. Berbagai metode perhitungan daya dukung tanah lunak telah dikembangkan oleh para ahli geoteknik, di antaranya metode Sondir, SPT Mayerhoff, Chin, Janbu, dan Danish. Namun, metode yang paling umum digunakan adalah perhitungan Sondir. Dalam metode Sondir, perhitungan daya dukung (Pu) didasarkan pada hasil uji sondir yang menghasilkan angka conus dan friksi, yang mencerminkan tahanan gesek tanah. (Wismantara & Budiarnaya, 2020)

2.10. PeneIitian SebeIumnya yang Serupa

 Tabel 2.5. Penelitian sebelumnya yang serupa

No.	Judul Penelitian						
1.		s Perbaikan Timbunan Jalan di Atas Tanah Lunak gunakan Material Timbunan Ringan Mortar Busa.					
	Peneliti	1 Alfiady Reza Permana Putuarga, 2024 2 Indrasurya B. Mochtar, 2024 3 Dedy Mandarsyah, 2024					
	Sumber	Institut Teknologi Sepuluh Nopember (ITS), Surabaya (tesis S2)					
	Hasil	Lokasi studi di ruas Jalan Calang – Simpang Peut, Aceh, pada tanah gambut lunak.Penambahan lapisan mortar busa (tebal 0,5 m hingga 1,5 m) meningkatkan faktor keamanan sebesar 8,7 %–15,0 % dan mengurangi penurunan timbunan hingga 60 %–96 % tergantung ketebalan dan kemiringan lereng.Ketebalan optimal: 1,50 m pada lereng eksisting; biaya sekitar Rp 33,3 miliar/km.					
2.		sis Penurunan Subgrade Tanah Lunak Menggunakan erkuatan Mortar Foam dengan Metode Numerik.					
	Peneliti	1 Ulfa Jusi, 2024 2 Pratikso Pratikso, 2024 3 Harnedi Maizir, 2024					
	Sumber	Sekolah Tinggi Teknologi Pekanbaru & Universitas Islam Sultan Agung Semarang.					
	Hasil	Simulasi Plaxis 2D memperlihatkan jika mortar busa setebal 20 cm diaplikasikan, penurunan subgrade (tanah lunak) terendah tercatat pada kondisi kering: ±0,961 mm; tergenang: ±0,988 mm. Perbedaan hanya sekitar 2,7 %, dan hasil penurunan tetap memenuhi standar (< 20 mm). Mortar busa terbukti secara signifikan mengurangi settlement pada subgrade jalan.					

3.	Analisis Perbaikan Timbunan Jalan di Atas Tanah Lunak Menggunakan Material Timbunan Ringan Mortar Busa.								
	Peneliti								
	Sumber	Institut Teknologi Sepuluh Nopember (ITS), Surabaya (tesis S2)							
	Lokasi studi di ruas Jalan Calang – Simpang Peut, A pada tanah gambut lunak.Penambahan lapisan mortar la (tebal 0,5 m hingga 1,5 m) meningkatkan faktor keama sebesar 8,7 %–15,0 % dan mengurangi penuru timbunan hingga 60 %–96 % tergantung ketebalan kemiringan lereng.Ketebalan optimal: 1,50 m pada lereksisting; biaya sekitar Rp 33,3 miliar/km.								
4.		Stabilitas dan Penurunan antara Timbunan Ringan Mortar Dibandingkan dengan Timbunan Pilihan pada Oprit Jembatan, Bandung							
\	\ <u>&</u>	1. Hamdan Antamini, 2018							
	Peneliti	2. Benny Moestofa, 2018							
	Sumber	Politeknik Negeri Jakarta							
	Hasil Penggunaan timbunan ringan menghasilkan penurunan sebesar 3,53 cm dan faktor keamanan 2,74, sedangkan untuk timbunan pilihan penurunannya sebesar 13,79 cm dengan faktor kea (FK) 1,36. Akhirnya dapat disimpulkan penggunaan timbunan ringan di atas tanah luna menghasilkan penurunan lebih kecil (50 dibandingkan dengan timbunan pilihan.								

5.	The Settlement Behavior Using Replacement Embankment with Mortar Foam and Geofoam using LISA FEA.								
	Peneliti	1. Aco Wahyudi Efendi, 2023							
	Sumber	Nusantara Civil Engineering Journal, Vol. 2 No. 2 (Balikpapan).							
	Hasil	Studi numerik dengan LISA FEA membandingkan mortar foam dan geofoam untuk menggantikan timbunan.Settlement material mortar foam sekitar 0,0961 m, lebih besar dari geofoam tetapi lebih kecil tekanan benefisial pada tanah asli dibanding sistem eksisting.Memberi wawasan bahwa mortar busa berpotensi sebagai opsi stabilisasi ringan dibanding timbunan tradisional.							

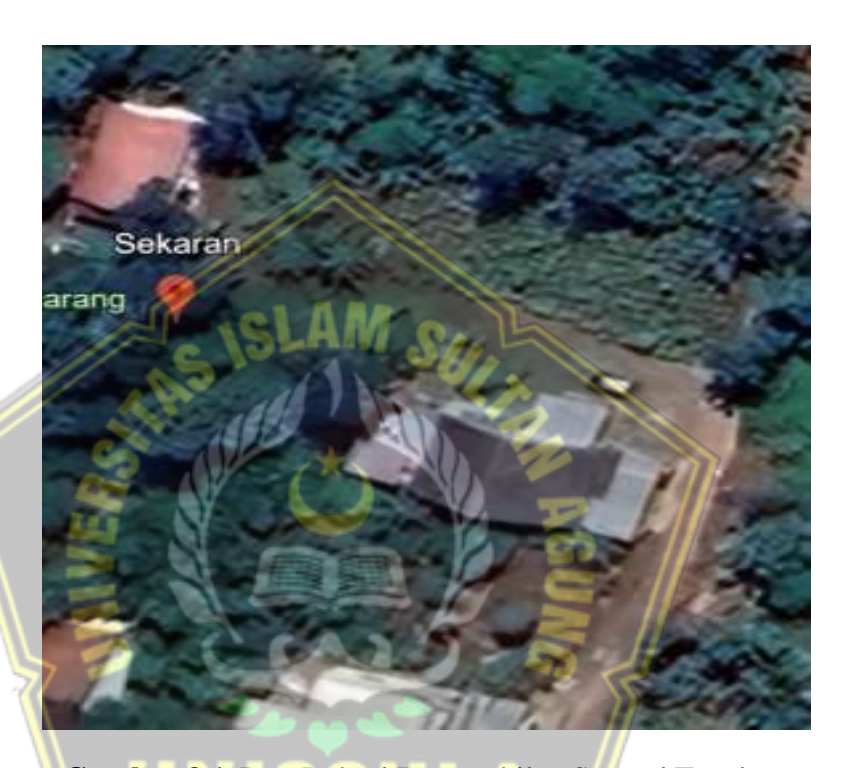


BAB III

METODELOGI PENELITIAN

3.1. Lokasi dan Subjek Penelitian

Sampel tanah untuk penelitian Tugas Akhir ini diambil dari Desa Sekaran, Kec. Gunung Pati, Kab. Semarang. Lokasi pengambilan sampel tanah asli dapat dilihat pada Peta **Gambar 3.1** di bawah ini.



Gambar 3.1. Peta Lokasi Pengambilan Sampel Tanah

di Desa Sekaran, Kec. Gunung Pati, Kab. Semarang, Jawa Tengah.

(Sumber: Google Earth, 2025)

3.2. Desain Penelitian

Desain penelitian disusun berdasarkan referensi dari berbagai sumber, seperti jurnal, buku panduan, diktat kuliah, pedoman peraturan, serta literatur lainnya. Sumber-sumber tersebut digunakan untuk memperoleh dasar teori dan parameter yang diperlukan dalam menganalisis suatu permasalahan serta memahami perilaku tanah terhadap konstruksi yang akan dibangun di atasnya.

3.3. Metode Penelitian

Metode penelitian dalam Tugas Akhir ini dilakukan melalui eksperimen di Laboratorium Mekanika Tanah, Jurusan Teknik Sipil, Universitas Islam Sultan Agung Semarang. Penelitian ini bertujuan untuk meningkatkan karakteristik tanah asli yang diperoleh dari lapangan dengan metode stabilisasi kimia menggunakan mortar busa.

Cara percobaan yang dipakai pada eksperimen ini dengan menambahkan mortar busa pada tanah asli untuk mengetahui nilai CBR. Sebagai kelompok kontrol yaitu tanah asli tanpa tambahan bahan. Sedangkan sebagai kelompok eksperimen yaitu tanah asli campuran mortar busa. Dari pengamatan dan rencana pencampuran ini, di harapkan untuk mengetahui pengaruh terhadap penambahan bahan tersebut.

3.4. Alat (Instrumen) dan Bahan

3.4.1. Menyiapkan Alat

Mengidentifikasi dan menyiapkan peralatan yang digunakan dalam proses percobaan dari awal hingga akhir. Peralatan pengujian yang digunakan dalam penelitian ini meliputi alat uji kadar air, berat jenis tanah, analisis saringan, batas Atterberg, uji geser langsung (direct shear), Proctor Standart, serta California Bearing Ratio (CBR). Selain itu, penelitian ini juga memanfaatkan berbagai peralatan lain yang tersedia di Laboratorium Geoteknik, Fakultas Teknik, Universitas Islam Sultan Agung Semarang, juga digunakan sesuai dengan standar American Society for Testing and Materials (ASTM).

Kadar Air

Pengujian ini menentukan persentase kandungan berat air dalam tanah relatif terhadap berat tanah dalam kondisi kering, dengan hasil yang dinyatakan dalam bentuk persentase.

Alat yang dipakai:

- 1. Neraca
- 2. Cawan
- 3. Oven dengan suhu 105° 110° C

• Berat Jenis Tanah (Gs)

Pengujian berat jenis tanah (Gs) merupakan rasio antara berat tanah dan berat

air dalam suhu khusus dan volume yang setara. Peralatan yang dipakai:

- 1. Piknometer
- 2. Anak timbangan dan Neraca
- 3. Oven
- 4. Thermometer
- 5. Air destilasi (*Aquadest*)
- Analisis Saringan (Sieve Analysis)
 - a. Ukuran Butir (*Grain Size*)

Pengujian memiliki tujuan dalam mengelompokkan tanah dan menetapkan distribusi dimensi partikel tanah.

Peralatan yang dipergunakan dalam praktikum:

- 1. Saringan dengan diameter berkisar (4,76 mm hingga 0,074 mm)
- 2. Mesin pengayak getar.
- 3. Neraca analitis beserta anak timbangannya
- 4. Oven
- 5. Cawan

Tahapan pelaksanaan Pengujian ukuran butir (grain size) antara lain adalah.

- a. Ambil sampel tanah kering dalam jumlah yang cukup (misalnya sampel tanah bor dari kedalaman 1 meter), lalu timbang dengan berat A gram
- b. Masukkan sampel ke dalam cawan besar, tambahkan air, dan rendam selama sekitar 24 jam.
- c. Cuci sampel menggunakan saringan berdiameter 0,075 mm (No. 200), lalu pisahkan bagian lumpurnya.
- d. Sampel yang telah bersih dari lumpur dikeringkan dalam oven, kemudian ditimbang dengan berat B gram.
- e. Susun saringan pada alat penggetar dengan ukuran diameter yang semakin kecil ke arah bawah.
- f. Letakkan sampel yang sudah ditimbang pada saringan teratas, lalu lakukan penggetaran selama sekitar 5 menit.
- g. Timbang setiap sampel yang tertinggal pada masing-masing saringan dan tempatkan dalam cawan.

Metode penggambaran dan perhitungan.

1) Berat sampel awal = A gr

Berat sampel setelah dicuci dan dikeringkan = B gr

Berat lumpur yang terpisah = A-B

2) Total berat tanah yang tertinggal pada saringan dengan ukuran Ø 4,75 mm

hingga Ø 0.075 mm = C gr

selisih berat = B - C gr

3) Kadar lumpur $= \frac{(A-B)+\alpha}{4} \times 100\%$

Dengan α: berat tanah yang tersisa pada dasar saringan.

- 4) Grafik bisa dibuat pada tabel, berdiameter saringan menjadi sumbu horizontal (*absis*) dan persen lolos (*percent finer*) sebagai sumbu vertikal (*ordinat*).
- Atterberg Limits (Batas-batas Konsistensi)
 - a. Batas Cair (Liquid Limit)

Pengujian memiliki tujuan dalam mengukur kadar air pada keadaan transisi antara keadaan cair dan plastis.

Peralatan yang dipergunakan dalam praktikum ini:

- 1. Alat cassagrande beserta coletnya
- 2. Saringan no. 40 (0,425mm)
- 3. Cawan berukuran besar
- 4. Oven
- 5. Neraca analitis
- 6. Eksikator, alat untuk pendinginan

Prosedur Pengujian Batas Cair (Liquid Limit):

- Ambil sampel tanah dalam jumlah yang cukup, kemudian keringkan di dalam oven selama kurang lebih 24 jam. Setelah kering, tumbuk dan ayak menggunakan saringan No. 40 (0,425 mm).
- 2) Ambil sebagian sampel tanah, letakkan dalam mangkuk, tambahkan aquadest, lalu aduk hingga merata dan homogen.
- 3) Setelah homogen, masukkan sampel ke dalam mangkuk *Cassagrande*, ratakan, lalu buat celah di tengahnya menggunakan colet.

- 4) Putar engkol alat *Cassagrande* sehingga mangkuk melalui ketukan dengan tinggi jatuh ± 1 cm pada laju sekitar 2 putaran per detik.
- 5) Hentikan pemutaran saat celah tanah menutup sepanjang ± 2 cm.
- 6) Lakukan percobaan sebanyak empat kali dengan variasi kadar air. Dua kali di bawah 25 ketukan dan dua kali di atas 25 ketukan, dengan perkiraan tanah menutup sepanjang 2 cm.

Ambil sampel dari setiap percobaan untuk dianalisis kadar airnya.

Direct Shear

Uji *direct shear* dilakukan untuk mengukur kekuatan geser tanah secara langsung. Pengujian ini menggunakan beberapa peralatan utama, yaitu:

- 1. Perangkat uji direct shear
- 2. Timbangan beserta anak timbanganny
- 3. Alat pemotong serta cetakan berbentuk cincin.

Prosedur pengujian direct shear, yaitu:

- 1. Menyiapkan perangkat uji, stopwatch, dan mengatur dial ke posisi nol.
- 2. Membentuk sampel tanah menggunakan ring pencetak, lalu menempatkannya ke dalam wadah uji.
- 3. Memasang beban vertikal (normal) untuk menghasilkan tegangan normal (σ n).
- 4. Mengoperasikan alat penggerak dengan kecepatan konstan sekitar satu putaran setiap ±2 detik, sambil mengaktifkan stopwatch untuk mencatat tegangan geser (σs).
- 5. Merekam nilai tertinggi pada jarum penunjuk saat pergeseran terjadi, termasuk waktu yang dibutuhkan.
- 6. Mengulangi percobaan sebanyak tiga kali dengan variasi beban 1 kg, 2 kg, dan 4 kg untuk memperoleh perbedaan tegangan, supaya *outputnya* dapat dianalisis dalam bentuk grafik.

Proctor Standart

Pengujian ini dilakukan untuk mengetahui kadar air optimal (W_{opt}) yang dibuthkan dalam proses pemadatan tanah, serta mengukur berat volume basah maksimum (γ_b), berat volume kering maksimum (γ_k), dan persentase porositas tanah.

Pada praktikum ini, alat yang digunakan mencakup sebagai berikut :

- 1. Perangkat Proctor beserta alat pemadatanya.
- 2. Jangka sorong untuk pengukuran presisi.
- 3. Pisau perata untuk meratakan sampe.
- 4. Timbangan untuk mengukur berat sampel.
- 5. *Neraca* analitis beserta anak timbangannya.
- 6. Cawan uji untuk menampung sampel.
- 7. Oven pengering untuk menghilangkan kadar air.
- 8. Gelas ukur utnuk mengukur volume cairan.
- 9. Saringan no. 4 (diameter 4,76 mm) untuk pemisahan partikel.

• *California Bearing Ratio* (CBR)

Pemeriksaan ini dilaksanakan untuk mengetahui tingkat CBR pada tanah atau campuran tanah dengan agregat yang telah dimampatkan di laboratorium dengan jumlah air spesifik. Nilai CBR diperoleh dengan membandingkan beban penetrasi material yang diuji dengan beban material standar pada kedalaman serta kecepatan penetrasi yang sama.

Alat yang dipergunakan pada praktikum ini:

- 1. Mesin penetrasi (Loading Machine)
- 2. Die silinder
- 3. Cakram Pemotong Logam (Cakram Kertas)
- 4. Alat Penumpukan dengan Uji Kompresi
- 5. Alat pengukur pengembangan (Swell)
- 6. Keping beban
- 7. Pistol penetrasi
- 8. Pengukur beban dan pengukur penetrasi
- 9. Alat tingbang

3.4.2. Menyiapkan Bahan

Berikut ini merupakan bahan-bahan yang digubakan dalam penelitian:

Tanah

Sampel tanah yang dipergunakan dalam penelitian ini adalah tanah lempung yang diperoleh dari Desa Sekaran, Kec. Gunung Pati, Kab. Semarang, Jawa Tengah.

• Air

Air yang dipakai dalam penelitian ini berasal dari Laboratorium Mekanika Teknik, Fakultas Teknik, Universitas Islam Sultan Agung Semarang.

• Mortar Busa

Mortar Busa yang dipergunakan sebagai material stabilisasi pada penelitian Tugas Akhir ini diperoleh dari.

Tabel 3.1. Mix Design

Kode	Mix Design	Berat Tanah	Berat Mortar Foam
A0	Tanah Asli + 0% MB	100 %	0 %
A10	Tanah Asli 90% + 10% MB	90 %	10 %
A15	Tanah Asli 85% + 15% MB	85 %	15 %
A20	Tanah Asli 80% + 20% MB	80 %	20 %
A25	Tanah Asli 75% + 25% MB	75 %	25 %

3.5. Teknik Pengumpulan Data

Data primer dan sekunder adalah dua metode yang dipergunakan dalam penelitian ini. Data primer didapat melalui observasi langsung, pengujian laboratorium, serta wawancara dengan pihak terkait. Sementara itu, data sekunder dikumpulkan dari berbagai literatur yang berisi informasi ilmiah mengenai Penambahan Mortar Busa Untuk Meningkatkan Nilai CBR Tanah Lempung Lunak.

3.6. Teknik Analisis Data

Metode analisis data dilaksanakan dengancermat untuk memastikan penyelesaian permasalahan secara akurat dan tepat. Semakin kompleks suatu permasalahan, semakin mendalam analisis yang diperlukan. Oleh karena itu, data serta konsep dasar teori menjadi penting sebagai dasar dalam melakukan analisis yang sistematis dan tepat.

Analisis tanah lempung dengan campuran mortar sagu sebagai stabilisator dilakukan dari hasil praktikum yang sudah dilakukan di laboratorium. Data tersebut digunakan untuk melengkapi parameter tanah yang telah tersedia.

3.7. Bagan Alur



Gambar 3.2 Bagan Alur Penelitian

BAB IV

HASIL DAN PEMBAHASAN

4.1 Hasil Penelitian

Tugas akhir ini menganalisa tanah lempung yang distabilisasi dengan Mortar Busa. Sampel tanah lempung diambil di Desa Sekaran Gunungpati, Kabupaten Semarang., Jawa Tengah. Metode studi yang digunakan Tugas Akhir ini eksperimen (pengujian) yang lakukan di Laboratorium Mekanika Tanah Fakultas Teknik UNISSULA. Dari data tersebut dapat di analisis sifat-sifat tanah yang distabilisasi dengan penambahan Mortar Busa. Kemudian data tersebut digunakan untuk mengetahui pengaruh daya dukung tanah yang distabilisasi (dicampurkan) dengan Mortar Busa dengan variasi 10%, 15%, 20%, 25% (bisa dilihat di **Tabel 3.1**).

4.2 Physical Properties Tanah Asli

Sebelum stabilisasi tanah dilakukan, terlebih dahulu diuji physical properties mekanis untuk mengetahui sifat tanah asli. Berikut adalah hasil properties tanah asli

Tabel 4. 1 Hasil Pengujian Tanah Asli

Sifat	Nilai	Satuan
Spesific Gravity (GS)	2,611	
Batas Cair (LL)	51,32	%
Batas <mark>Plastis (PL)</mark>	مار 21,26 راکوی	%
Indeks Plastisitas (IP)	30,07	%
Persenan Butiran Tanah Lolos Saringan No. 200	80	%
Kadar Air Optimum (wopt)	20	%
Berat Volume Kering Maksimum (γ _{d max})	0,39	kN/m ³
Kohesi (c)	0.065	Kg/cm ²
Sudut Geser Dalam (φ)	18,58	(°)
Nilai CBR	4,1	%

Berdasarkan **Tabel 4.1** dan **Tabel 4.2** diatas dapat dijelaskan tanah asli merupakan tanah lempung lunak, bisa dilihat dari hasil persenan butiran tanah lolos saringan No. 200 sekitar 80%, nilai sudut geser (φ) 18,58%, dan nilai CBR 4,1%.

4.3 Analisa Stabilisasi dengan Mortar Busa di Laboratorium

Setelah didapatkan *Physical Properties*, maka tanah asli selanjutnya dilakukan stabilisasi dengan Mortar Busa di Laboratorium Mekanika Tanah Fakultas Teknik UNISSULA dengan beberapa metode berikut

4.3.1 Grain Size

a. Hidrometer Analysis

Metode ini dilakukan untuk menghitung distribusi ukuran butir tanah berdasarkan sedimentasi tanah dalam air, kadang disebut juga uji sedimentasi. Analisis hydrometer bertujuan untuk mengetahui pembagian ukuran butir tanah yang berbutir halus.

Tabel 4. 2 Nilai Perhitungan Hidrometer Analysis Tanah Asli

Waktu	\mathbb{N}	Selisih	3	Diameter	Presentase	Presentase	Percent
(menit)	Strip	Pembacaan	\mathbf{z}	Mol Tanah	Butiran	Komulatif	Finer
(memi)		1 cmodedan		(m)	(%)	(%)	(%)
0	47	7 0	24	0.00412	0.0	0.00	85.01
1/4	40	7	22.6	0.00400	12.7	12.66	72.34
1/2	37	3	23.4	0.00288	5.4	18.09	66.92
1	35	2	23.6	0.00204	3.6	21.70	63.30
2	34	1	23.8	0.00145	1.8	23.51	61.49
5	30	4	23.2	0.00091	7.2	30.75	54.26
10	24	6	22.8	0.00063	10.9	41.60	43.41
45	20	4	23.2	0.00052	7.2	48.83	36.17
75	15	5	23	0.00023	9.0	57.88	27.13
90	0	15	21	0.00020	27.1	85.01	0.00
120	0	0	24	0.00019	0.0	85.01	0.00
		47					

Tabel 4. 3 Nilai Perhitungan *Hidrometer Analysis* Tanah Campuran MB 10%

Waktu		Selisih		Diameter	Presentase	Presentase	Percent
	Strip		Z	Mol Tanah	Butiran	Komulatif	Finer
(menit)		Pembacaan		(m)	(%)	(%)	(%)
0	40	0	24	0.00412	0.0	0.00	70.37
1/4	37	3	23.4	0.00407	5.3	5.28	65.09
1/2	35	2	23.6	0.00289	3.5	8.80	61.57
1	32	3	23.4	0.00203	5.3	14.07	56.30
2	22	10	22	0.00139	17.6	31.67	38.70
5	20	2	23.6	0.00091	3.5	35.19	35.19
10	16	4	23.2	0.00064	7.0	42.22	28.15
45	10	6	22.8	0.00052	10.6	52.78	17.59
75	9	1	23.8	0.00024	1.8	54.54	15.83
90	8	1	23.8	0.00022	1.8	56.30	14.07
120	7	12	23.8	0.00019	1.8	58.06	12.31
		32		11	()		

Tabel 4. 4 Nilai Perhitungan Hidrometer Analysis Tanah Campuran MB 15%

	//			Diameter	Presentase	Presentase	Percent
Waktu	Strip	Selisih	Z	Mol Tanah	Butiran	Komulatif	Finer
(menit)	\mathcal{M}	Pembacaan	2	(m)	(%)	(%)	(%)
0	60	0	24	0.00412	0.0	0.00	67.65
1/4	58	2	23.6	0.00408	2.3	2.26	65.40
1/2	47	11	21.8	0.00278	12.4	14.66	52.99
1	45	للعبي2	23.6	0.00204	2.3	16.91	50.74
2	28	17	20.6	0.00135	19.2	36.08	31.57
5	26	2	23.6	0.00091	2.3	38.34	29.32
10	18	8	22.4	0.00063	9.0	47.36	20.30
45	10	8	22.4	0.00051	9.0	56.38	11.28
75	4	6	22.8	0.00023	6.8	63.14	4.51
90	0	4	23.2	0.00021	4.5	67.65	0.00
120	0	0	24	0.00019	0.0	67.65	0.00
		60					

Tabel 4. 5 Nilai Perhitungan Hidrometer Analysis Tanah Campuran MB 20%

Walsty		Caliaih		Diameter	Presentase	Presentase	Percent
Waktu	Strip	Selisih	Z	Mol Tanah	Butiran	Komulatif	Finer
(menit)		Pembacaan		(m)	(%)	(%)	(%)
0	58	0	24	0.00412	0.0	0.00	62.52
1/4	56	2	23.6	0.00408	2.2	2.16	60.36
1/2	55	1	23.8	0.00290	1.1	3.23	59.28
1	45	10	22	0.00197	10.8	14.01	48.50
2	35	10	22	0.00139	10.8	24.79	37.72
5	30	5	23	0.00090	5.4	30.18	32.34
10	21	9	22.2	0.00063	9.7	39.88	22.63
45	13	8	22.4	0.00051	8.6	48.50	14.01
75	3	10	22	0.00023	10.8	59.28	3.23
90	0	3	23.4	0.00021	3.2	62.52	0.00
120	0	0	24	0.00019	0.0	62.52	0.00
		58	.11	1,000	10		

Tabel 4. 6 Nilai Perhitungan Hidrometer Analysis Tanah Campuran MB 25%

Waktu	///	Selisih	\ L	Diameter	Presentase	Presentase	Percent
	Strip		Z	Mol Tanah	Butiran	Komulatif	Finer
(menit)	5	Pembacaan		(m)	(%)	(%)	(%)
0	58	0	24	0.00412	0.0	0.00	61.32
1/4	56	2	23.6	0.00408	2.1	2.11	59.21
1/2	55	1 1	23.8	0.00290	1.1	3.17	58.15
1	45	10	22	0.00197	10.6	13.74	47.58
2	35	10	22	0.00139	10.6	24.32	37.00
5	30	5	23	0.00090	5.3	29.60	31.72
10	21	9	22.2	0.00063	9.5	39.12	22.20
45	13	8	22.4	0.00051	8.5	47.58	13.74
75	3	10	22	0.00023	10.6	58.15	3.17
90	0	3	23.4	0.00021	3.2	61.32	0.00
120	0	0	24	0.00019	0.0	61.32	0.00
		58					

b. Sieve Analysis

Pembagian ukuran butir dilaksanakan dengan analisa saringan/analisa hidrometer. Persen berat dari berbagai ukuran butir yang melebihi 74 mikron dilakukan dengan saringan, dengan satu sel alat saringan standar yang digerakan secara horisontal maupun vertikal dalam alat saringan yang digerakan secara horisontal maupun vertikal dalam alat penggoyang saringan.

Tabel 4. 7 Nilai Perhitungan *Sieve Analysis* Tanah Asli

Diameter saringan	No. Cawan	Brt. Cawan (gr)	Brt.Sampel+cwn yg tertinggal dalam saringan (gr)	Brt.Sampel yang tertinggal dalam saringan (gr)	Presentase sampel yang tertinggal	Komulatif Presentase sampel yg tertinggal (%)	Percent Finer (%)
4,750	A	4.09	4.09	0.00	0.00	0.00	100.00
2,000	В	4.01	4.01	0.00	0.00	0.00	100.00
0,850	C	4.08	18.02	13.94	6.97	6.97	93.03
0,425	D	4.40	8.34	3.94	1.97	8.94	91.06
0,250	E	8.12	10.56	2.44	1.22	10.16	89.84
0,180	F	4.12	5.93	1.81	0.91	11.07	88.94
0,150	G	4.01	5.84	1.83	0.92	11.98	88.02
0,075	Н	4.19	10.22	6.03	3.02	15.00	85.01
0,000	I	4.16	149.17	170.01	85 .01	100.00	0.00
				200.00	100.00		

Tabel 4. 8 Nilai Perhitungan *Sieve Analysis* Tanah Campuran MB 10%

				Brt.Sampel		Komulatif	
			Brt.Sampel+cwn	yang	Presentase	Presentase	
		Brt.	yg tertinggal	tertinggal	sampel	sampel yg	Percent
Diameter	No.	Cawan	dalam saringan	dalam	yang	tertinggal	Finer
saringan	Cawan	(gr)	(gr)	saringan	tertinggal	(%)	(%)
				(gr)	(%)	(' ' '	
4,750	A	4.09	4.12	4.12	0.00	0.00	0.00
2,000	В	4.01	4.11	4.11	0.00	0.00	0.00
0,850	C	4.08	4.06	14.19	10.13	5.07	5.07
0,425	D	4.40	4.08	14.23	10.15	5.08	10.14
0,250	Е	8.12	4.41	14.64	10.23	5.12	15.26
0,180	F	4.12	4.12	14.63	10.51	5.26	20.51
0,150	G	4.01	4.07	14.31	10.24	5.12	25.63
0,075	Н	4.19	4.16	12.16	8.00	4.00	29.63
0,000	I	4.16	4.05	144.79	140.74	<mark>70</mark> .37	100.00
	\mathbb{N}	3		200.00	100.00		

Tabel 4. 9 Nilai Perhitungan Sieve Analysis Tanah Campuran MB 15%

	- 7		Brt.Sampel+cwn	Brt.Sampel yg	Presentase	Komulatif Presentase	
Diameter saringan	No. Cawan	Brt. Cawan (gr)	yg tertinggal dlm saringan (gr)	tertinggal dlm saringan (gr)	sampel yg tertinggal (%)	sampel yg tertinggal (%)	Percent Finer (%)
4,750	A	4.12	4.12	0.00	0.00	0.00	100.00
2,000	В	4.17	4.17	0.00	0.00	0.00	100.00
0,850	С	4.19	8.46	4.27	2.14	2.14	97.87
0,425	D	4.19	18.03	13.84	6.92	9.06	90.95
0,250	Е	4.31	13.47	9.16	4.58	13.64	86.37
0,180	F	3.80	12.75	8.95	4.48	18.11	81.89
0,150	G	4.11	16.86	12.75	6.38	24.49	75.52
0,075	Н	5.59	21.32	15.73	7.87	32.35	67.65
0,000	I	4.41	139.71	135.30	67.65	100.00	0.00
				200.00	100.00		

Tabel 4. 10 Nilai Perhitungan Sieve Analysis Tanah Campuran MB 20%

Tuber	40 10 1 (mai i ci	ilituligali Steve A	riaiysis Tan	ian Campa	I all IVID 20	/0
				Brt.Sampel		Komulatif	
			Brt.Sampel+cwn	yg	Presentase	Presentase	
		Brt.	yg tertinggal	tertinggal	sampel yg	sampel yg	Percent
Diameter	No.	Cawan	dlm saringan	dlm	tertinggal	tertinggal	Finer
saringan	Cawan	(gr)	(gr)	saringan	(%)	(%)	(%)
				(gr)			
4,750	A	4.12	4.12	4.12	0.00	0.00	0.00
2,000	В	4.02	4.02	5.12	1.10	0.55	0.55
0,850	C	4.25	4.25	14.08	9.83	4.92	5.47
0,425	D	4.15	4.15	13.11	8.96	4.48	9.95
0,250	Е	4.25	4.25	13.08	8.83	4.42	14.36
0,180	F	4.26	4.26	24.36	20.10	10.05	24.41
0,150	G	4.06	4.06	8.62	4.56	2.28	26.69
0,075	Н	3.87	3.87	25.46	21.59	10.80	37.49
0,000	I	4.63	4.63	129.66	125.03	62.52	100.00
		SB	(*)	200.00	100.00		

Tabel 4. 11 Nilai Perhitungan Sieve Analysis Tanah Campuran MB 25%

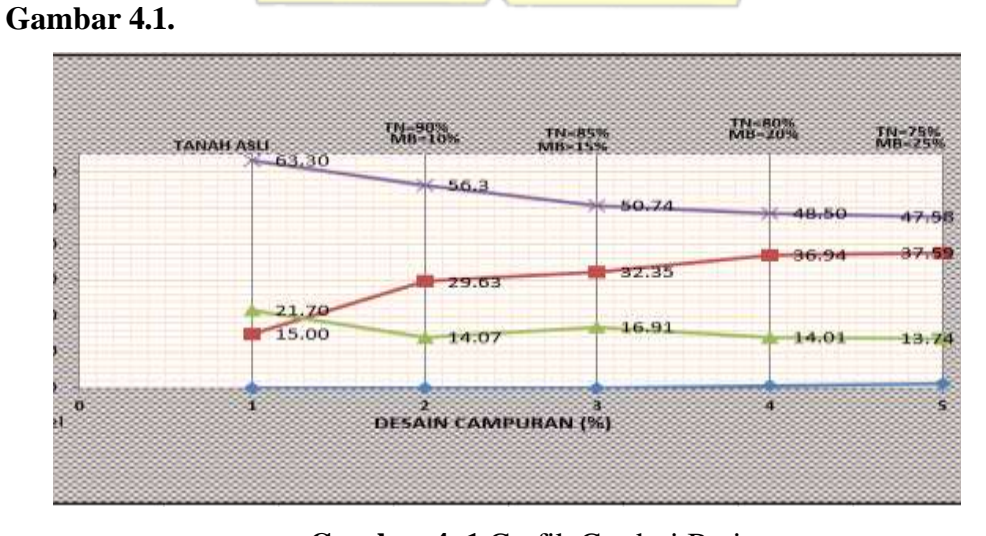
	//	Z		Brt.Sampel	1		
	4	-		yg	5	Komulatif	
Diameter	No.	Brt.	Brt.Sampel+cwn	tertinggal	Presentase	Presentase	Percent
saringan	Cawan	Cawan	yg tertinggal	dlm	sampel yg	sampel yg	Finer
	1	(gr)	dlm saringan	saringan	tertinggal	tertinggal	(%)
			(gr)	(gr)	(%)	(%)	
4,750	A	4.12	4.12	0.00	0.00	0.00	100.00
2,000	В	4.02	6.21	2.19	1.10	1.10	98.91
0,850	С	4.25	14.08	9.83	4.92	6.01	93.99
0,425	D	4.15	13.11	8.96	4.48	10.49	89.51
0,250	Е	4.25	13.08	8.83	4.42	14.91	85.10
0,180	F	4.26	24.36	20.10	10.05	24.96	75.05
0,150	G	4.06	8.62	4.56	2.28	27.24	72.77
0,075	Н	3.87	26.76	22.89	11.45	38.68	61.32
0,000	I	4.63	127.27	122.64	61.32	100.00	0.00
				200.00	100.00		

Setelah diketahui hasil dari hydrometer analysis dan sieve analysis secara keseluruhan maka didapatkan hasil pembagian ukuran butir tanah.

Tabel 4. 12 Hasil Grain Size

No.	Sampel	Clay (%)	Silt (%)	Sand (%)	Gravel (%)
1	Tanah Asli	63,30	21,70	15,00	0,00
2	Tanah				
	Campuran MB 10%	56,30	14,07	29,63	0,00
3	Tanah				
	Campuran MB 15%	50,74	16,91	32,35	0,00
4	Tanah				
	Campuran MB 20%	48,50	14,01	36,94	0,55
5	Tanah	47,58	13,74	37,59	1,10
	Campuran MB 25%	d'		UN,	

Dari tabel diatas menunjukan data perubahan dari setiap campuran dan untuk campuran menunjukan nilai yang berbeda disebabkan pada proses pencampuran presentase gravelnya lebih sedikit dari campuran yang lain sehingga terjadi penurunan. Dari tabel tersebut dapat diperoleh grafik gradasi butiran seperti pada



Gambar 4. 1 Grafik Gradasi Butiran

Menurut grafik hasil gradasi butiran, seperti yang ditunjukan pada **Gambar 4.1** Tanah Asli memiliki persenan clay paling banyak, yang berarti termasuk ke tanah lempung.

4.3.2 Attertberg Limits

a. Batas Cair

Kadar air dalam tanah diukur melalui pengujian batas attertberg, yang merupakan batas antara keadaan cair dan plastis. Analisis hasil perhitungan data *liquid limit*

$$w = \frac{b-c}{c-a} x \ 100\%$$

$$w = \frac{45,47 - 30,75}{30,75 - 4,17} x \ 100\%$$

$$w = 55,37\%$$

Tabel 4. 13 Nilai Perhitungan Batas Cair

Sampel	Jumlah Ketukan	No. Cawan	Berat Cawan (gr) (a)	Berat Cawan + Tanah Basah (gr) (b)	Berat Cawan + Tanah Kering (gr) (c)	w (%)	<i>LL</i> (%)
	11	1	4,17	45,47	3 0,75	55,38	
Tanah Asli	25	2	4,13	49,89	34,28	51,77	51,32
100%	39	3	4,13	45,51	32,14	47,73	31,32
	78	4	6,32	45,43	32,94	46,92	
Tanah	10	1	4,31	67,41	45,47	53,30	
Campuran	12	2	4,12	46,88	32,70	49,62	48,76
MB 10%	35	3	4,28	49,31	34,74	47,83	10,70
	60	4	4,06	50,53	35,94	45,77	

Tomah	15	1	4,05	42,17	18,23	49,78	
Tanah	21	2	4,12	50,89	26,00	46,80	46.07
Campuran MB 15%	50	3	4,02	46,39	22,12	44,66	46,97
WID 13%	75	4	4,11	44,83	25,67	41,73	
7D 1	15	1	4,12	44,97	32,27	45,12	
Tanah	22	2	4,20	40,61	29,68	42,90	42.00
Campuran MB 20%	40	3	4,12	43,65	32,32	40,18	42,09
WID 20%	60	4	4,12	51,63	38,17	39,53	
Tanah	15	1	4,20	43,17	31,57	42,38	
Campuran	25	2	4,11	40,10	29,68	40,79	40,31
MB 25%	41	3	4,05	42,55	32,12	37,16	40,31
WID 2370	60	4 (4,06	49,85	36,24	35,19	

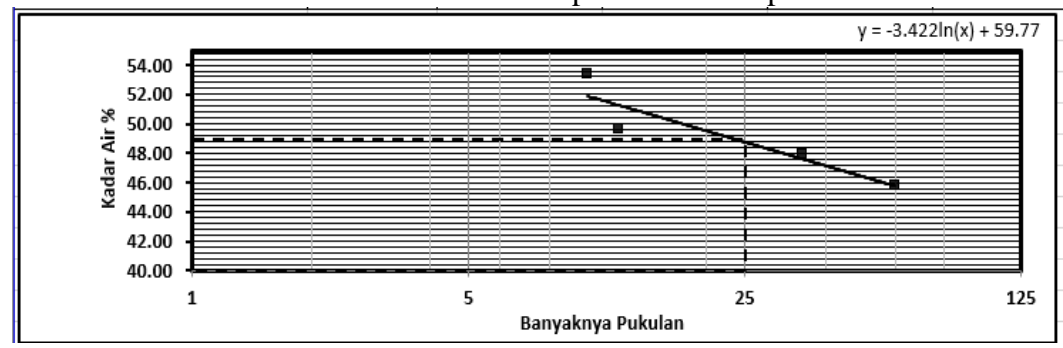
Berdasarkan hasil perhitungan batas air pada **Tabel 4.13**, maka dapat diperoleh grafik *liquid limit* untuk sampel tanah asli seperti **Gambar 4.2**.

Gambar 4. 2 Grafik Batas Cair sampel Tanah Asli



Kadar air pada pukulan ke-25 seperti yang ditunjukan olek grafik di **Gambar 4.2** adalah sebesar 51,32%.

Gambar 4. 3 Grafik Batas Cair sampel Tanah Campuran MB 10%



Kadar air pada pukulan ke-25 seperti yang ditunjukan olek grafik di **Gambar 4.3** adalah sebesar 48,76%.

52.00 50.00 48.00 44.00 42.00 40.00 1 5 25 125 Banyaknya Pukulan

Gambar 4. 4 Grafik Batas Cair sampel Tanah Campuran MB 15%

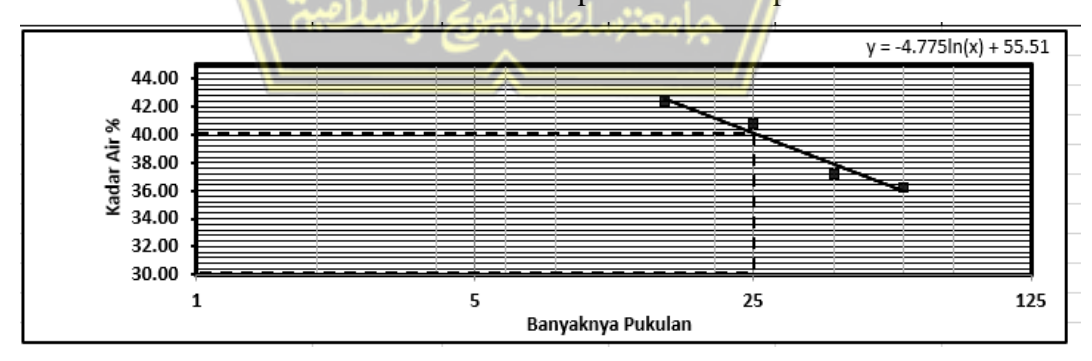
Kadar air pada pukulan ke-25 seperti yang ditunjukan olek grafik di **Gambar 4.4** adalah sebesar 46,97%.

Gambar 4. 5 Grafik Batas Cair sampel Tanah Campuran MB 20%



Kadar air pada pukulan ke-25 seperti yang ditunjukan olek grafik di **Gambar 4.5** adalah sebesar 42,09%.

Gambar 4. 6 Grafik Batas Cair sampel Tanah Campuran MB 25%



Kadar air pada pukulan ke-25 seperti yang ditunjukan olek grafik di **Gambar 4.6** adalah sebesar 40,31%.

b. Batas Plastis

Tujuan dari pemeriksaan ini adalah untuk mengetahui kondisi tanah selama kadar air rendah.

Analisis hasil eksperimen data batas plastis

$$w = \frac{b-c}{c-a} x \ 100\%$$

$$w = \frac{16,23-14,17}{14,17-4,48} x \ 100\%$$

w = 21,26%

Tabel 4. 14 Nilai Perhitungan Batas Plastis

		ISL	Berat	Berat		
	// *	Berat	Cawan	Cawan		
Sampel	No.	Cawan (gr) (a)	* +(()	+		77 (21)
	Cawan		Tanah	Tanah	W (%)	PL(%)
	\geq		Basah	kering (gr)		
	13		(gr) (b)	(gr) (c)	//	
Tanah Asli	5	4,48	16,23	14,17	21,26	30,07
		ر خرال سراره	SUL Sinula "	A //		
Tanah Campuran MB 10%	5	4,12	15,49	13,00	28,04	20,71
Tanah Campuran						
MB 15%	5	4,09	17,91	14,77	29,40	17,57
Tanah Campuran						
MB 20%	5	4,29	12,52	10,59	30,63	11,46
Tanah Campuran MB 25%	5	4,12	12,53	10,51	31,61	8,70

Setelah diketahui batas cair dan batas plastisnya hasil perhitungan secara keseluruhan dapat dihitung nilai (*IP*) dan didapat hasil perhitungan seperti pada Tabel 4.16.

$$IP = LL - PL$$

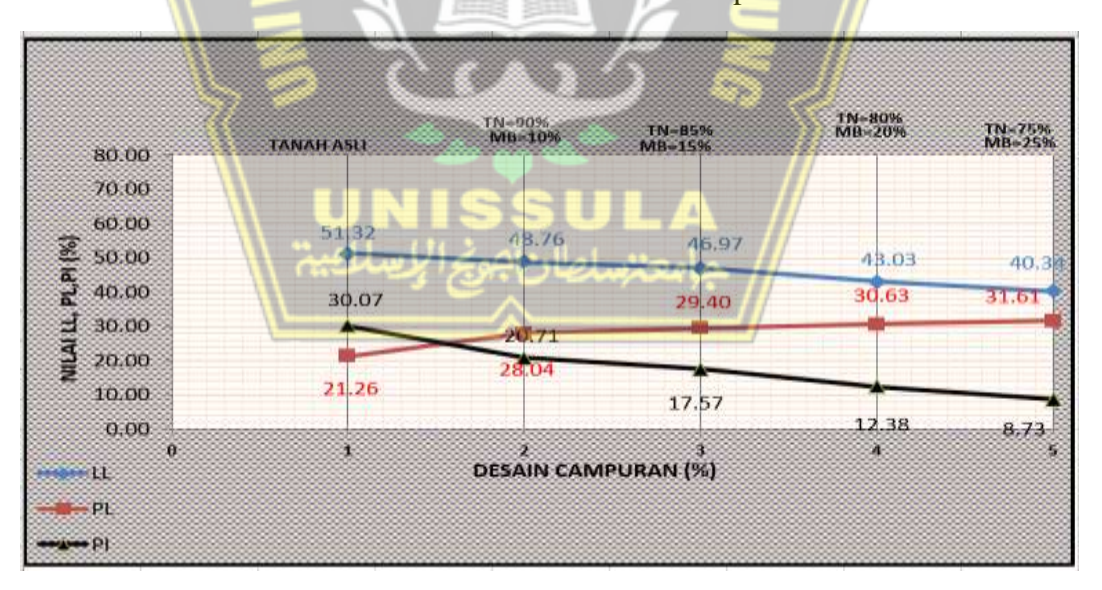
$$IP = 51,32 - 21,26$$

IP = 30,06%

Tabel 4. 15 Hasil Indeks Plastisitas

Sampel	LL %	PL %	IP %					
Tanah Asli	51.32	21.26	30.07					
Tanah Campuran MB 10%	48.76	28.04	20.71					
Tanah Campuran MB 15%	46.97	29.40	17.57					
Tanah Campuran MB 20%	42.09	30.63	11.46					
Tanah Campuran MB 25%	40.31	31.61	8.70					

Gambar 4. 7 Grafik ATL Tanah Asli dan Campuran Mortar Busa



Pada **Gambar 4.7** terlihat bahwa tanah yang distabiliasi menggunakan mortar busa menunjukan bahwa nilai IP tanah, semakin banyak diberikan campuran, nilai IP semakin menurun karena akibat dari peningkatan sifat tanah, yang berarti bahwa daya dukung tanah meningkat.

4.3.3 Direct Shear

Untuk menentukan kohesi tanah dan sudut geser sampel, uji geser langsung dilakukan hasil dari pengujian, berikut datanya

Diameter ring = 6.3 cmBerat ring = 0.0589 kgKalibrasi Proving Ring = 0.54 kg/divKoreksi Beban: 1 kg = 0.97 kg

Kemudian dianalisis menggunakan perhitungan seperti berikut : contoh perhitungan adalah berikut :

1. Tegangan normal (σn)

$$F = \frac{1}{4} x \pi x 6.3^2$$

$$= 31,156 cm^2$$

$$\sigma n = \frac{\text{Berat beban+Berat ring}}{\text{Luas penampang}}$$

$$=\frac{0,97+0,0589}{1}$$

$$= 0.033 \text{ kg/cm}^2$$

2. Tegangan Geser (σ_s)

$$\sigma n = \frac{\text{Gaya Geser}}{F}$$

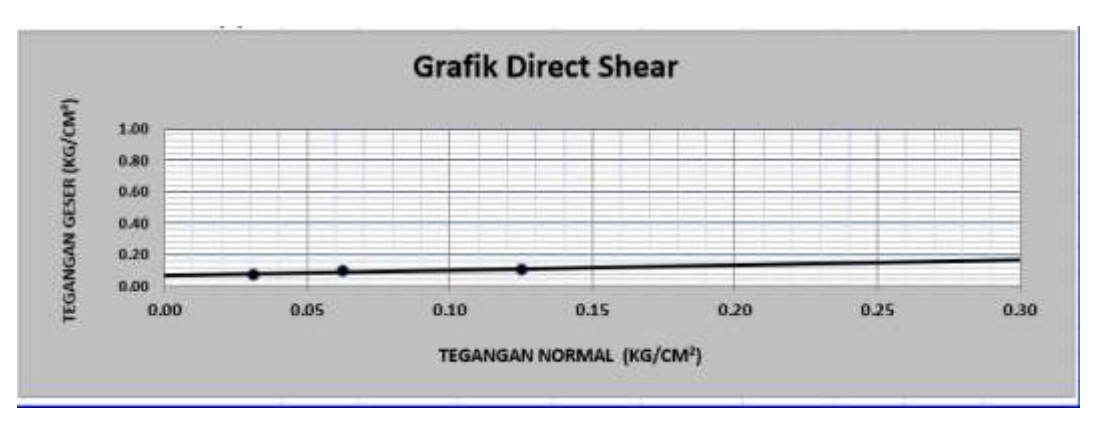
$$= \frac{29 \times 0,54}{31,156}$$

$$= 0.50 \, \text{kg/cm}^2$$

Tabel 4. 16 Hasil Perhitungan Penembakan Langsung sampel Tanah Asli dan Campuran Mortar Busa

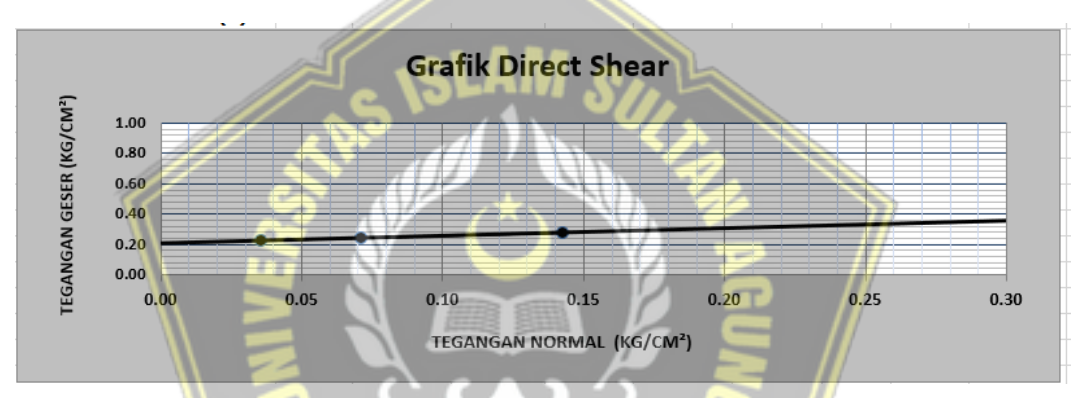
Sampel	No. Sampel	Beban (kg/cm ³)	Koreksi Beban (kg/cm³)	Pembacaan Dial	Tegangan Normal (σ_n)	Tegangan Geser (σ_s)
	1	1	0,97	4	0,0313	0,0693
Tanah Asli	2	2	1,95	5,5	0,063	0,0953
	3	4	3,90	6	0,125	0,1040
Tanah	1	1	0,98	10,5	0,0315	0,1820
Campuran	2	2	1,96	11	0,063	0,1906
10%	3	4	3,92	12,5	0,126	0,2166
Tanah	1		0,90	12,5	0,0290	0,2166
Campuran	2	2	1,81	13	0,058	0,2253
15%	3	9 4	3,62	14,5	0,116	0,2513
Tanah	1	1	1,11	13	0,0356	0,2253
Campuran 20%	\\ 2	2	2,22	14	0,071	0,2426
	3	4	4,44	16	0,143	0,2773
Tanah	\\lambda	1	1,05	13,5	0,0339	0,2340
Campuran 25%	2	2	2,1	14,5	0,068	0,2513
	3	الإس4لية	را 4,2 ا	/ عرب	0,135	0,2946

Nilai kohesi (c) dan sudut geser dalam (φ) sesuai, karena ada garis yang menghubungkan tiga titik pada grafik, sehingga dapat digunakan untuk membuat grafik perbandingan antara tegangan normal dan tegangan geser dengan kondisi tanah uji. **Gambar 4.10** menunjukan diagram gaya geser langsung dari sampel tanah asli.



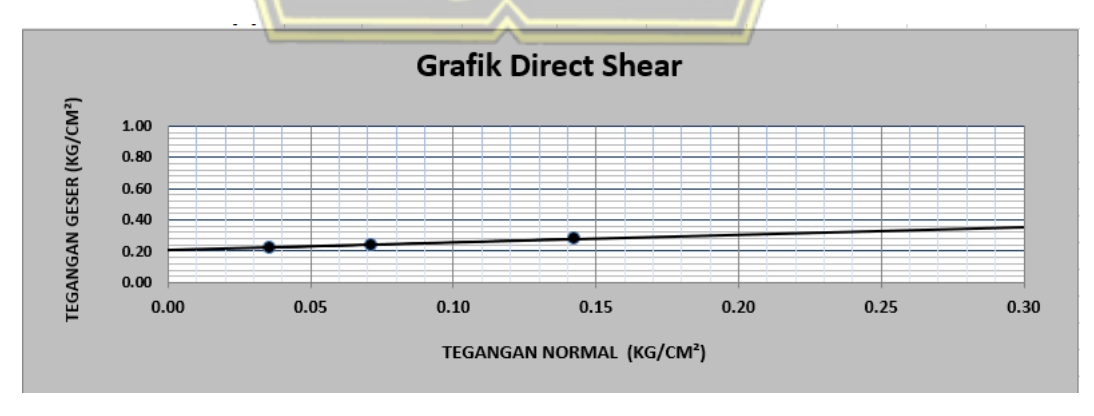
Gambar 4. 8 Grafik Direct Shear Tanah Asli

Berdasarkan **Gambar 4.8** grafik *Direct Shear* Tanah Asli tersebut diperoleh nilai Tegangan Geser 0,0693; 0,0953; 0,1040 dan diperoleh nilai tegangan normal 0,0313; 0,063;0,125.



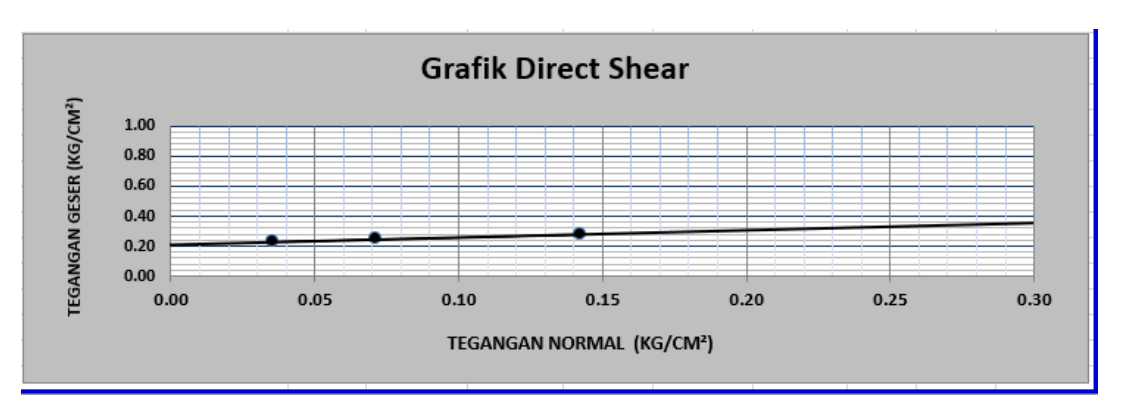
Gambar 4. 9 Grafik Direct Shear Tanah Campuran MB 10%

Berdasarkan **Gambar 4.9** grafik *Direct Shear* Tanah campuran 10% tersebut diperoleh nilai Tegangan Geser 0,1820; 0,1906; 0,2516 dan nilai tegangan normal 0,0315; 0,063; 0,126.



Gambar 4. 10 Grafik Direct Shear Tanah Campuran MB 15%

Berdasarkan **Gambar 4.10** grafik *Direct Shear* Tanah campuran 15% tersebut diperoleh nilai Tegangan Geser 0,2166; 0,2253; 0,2513 dan nilai tegangan normal 0,0290; 0,058; 0,116.



Gambar 4. 11 Grafik Direct Shear Tanah Campuran MB 20%

Berdasarkan **Gambar 4.11** grafik *Direct Shear* Tanah campuran 20% tersebut diperoleh nilai Tegangan Geser 0,2253; 0,2426; 0,2773 dan nilai tegangan normal 0,0356; 0,071; 0,143.



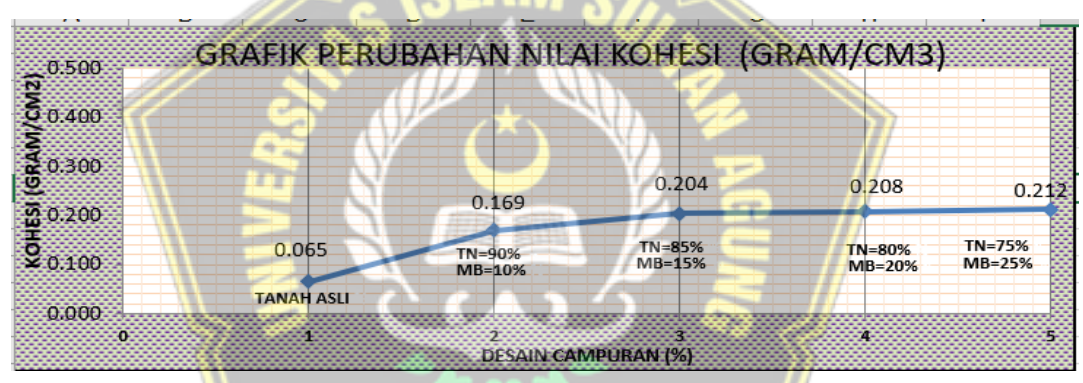
Gambar 4. 12 Grafik *Direct Shear* Tanah Campuran MB 25%

Berdasarkan **Gambar 4.12** grafik *Direct Shear* Tanah campuran 25% tersebut diperoleh nilai Tegangan Geser 0,2340; 0,2513; 0,2946 dan nilai tegangan normal 0,0356; 0,071; 0,143.

Tabel 4. 17 Hasil Penggambaran Direct Shear

No	Sampel	Kohesi (c) (Kg/cm ²)	Sudut Geser Dalam (φ)(°)
1	Tanah Asli	0,065	18,58
2	Tanah Campuran MB 10%	0,169	20,51
3	Tanah Campuran MB 15%	0,204	22,05
4	Tanah Campuran 20%	0,208	25,96
5	Tanah Campuran 25%	0,212	31,12

Dari **Tabel 4.17** hasil penggambaran *Direct Shear* tersebut diperoleh grafik nilai kohesi (c) dari tiap sampel seperti pada **Gambar 4.13.**



Gambar 4. 13 Grafik Nilai Kohesi Tanah Asli dan Campuran Mortar Busa Berdasarkan Gambar 4. 13 diatas dapat diartikan maka semakin tinggi nilai kohesi dan sudut geser maka semakin baik daya dukung tanahnya. Nilai kohesi tanah yang tinggi ditemukan berdasarkan hasil uji *Direct shear* di presentase (Tanah Campuran MB 25%) yakni 0,212 kg/cm².dan pada sudut geser nilai yang paling tinggi yakni pada presentase (Tanah Campuran MB 25%) yakni 31,12%.

4.3.2 Proctor Standart

Percobaan *Proctor Standart* ini menggunakan tingkat air yang berbeda untuk setiap sampel untuk menentukan kadar air tanah ideal (W_{opt}), berat volume basah ideal (b), berat volume kering ideal (d_{opt}), dan persentase pori/pori pada tanah sampel.

Tabel 4.18 menampilkan data yang diperoleh dari hasil uji laboratorium.

						Berat	Berat
			Berat Alat			Cawan	cawan
			+		Berat	+	+
Sampel	No.	Volume Air	Tanah	No.	Cawan (gr)	Tanah Basah	tanah Kering
Bumper		(cc)	(gr)	Cawan	(a)	(gr)	(gr)
			ISLA	IM S	1	(b)	(c)
	I	200	9762		4,51	49,55	44,14
	II	500	10105	2	4,15	86,44	73,32
Tanah Asli	/III	700	10386	3	4,29	91,80	76,54
Asii	IV	900	10520	4	4,15	86,44	70,81
	V	1000	10050	5	4,29	91,80	74,14
	I	300	10456	1	5,00	35,00	30,45
Tanah	п	900	10534	2	6,89	70,89	60,45
Campuran	III	1300	10680	سلالات	4,12	72,52	59,80
MB 10%	IV	1600	10543	4	4,30	87,19	70,52
	V	1900	10454	5	4,00	57,00	45,69
	I	700	10687	1	4,02	50,82	44,06
Tanah	II	800	10745	2	4,13	44,85	38,46
Campuran	III	900	10798	3	4,10	55,42	46,98
MB 15%	IV	1100	10567	4	4,17	33,03	27,76
	V	1300	10521	5	4,07	59,99	49,10
	I	800	10556	1	4,14	50,91	45,43
Tanah	II	900	10664	2	8,10	100,60	88,98
	III	1100	10723	3	4,43	64,72	56,54

Campuran	IV	1300	10565	4	3,79	63,50	54,16
MB 20%	V	1500	10434	5	4,27	66,15	56,12
Tanah	I	800	10612	1	4,14	49,91	45,12
Campuran MB 25%	II	900	10734	2	8,10	99,60	88,78
	III	1100	11123	3	4,43	42,69	38,12
	IV	1300	10734	4	3,79	63,50	55,23
	V	1500	10698	5	4,27	66,15	56,67

Data alat:

Berat alat= 6171 gram

Tinggi alat= 11,6 cm

Diameter alat = 15,2 cm

Analisis data tersebut kemudian dihitung seperti berikut:

1. Volume Alat

$$V = \frac{1}{4}x \pi x D^{2}x t$$

$$V = \frac{1}{4}x 3,14 x (15,2)^{2} x 11,60$$

$$V = 2103,85 cm^3$$

2. Berat tanah basah

$$=$$
 (Berat $Proctor + Tanah$) $-$ Berat $Proctor$ (alas $+$ 1)

$$= 9762 - 6171$$

$$= 3591 \text{ gram}$$

3. Berat Volume Tanah Basah
$$\gamma b = \frac{\text{Berat Tanah Basah}}{\text{Volume Cetakan}}$$

$$\gamma b = \frac{\frac{3591}{2103,85}$$

$$\gamma b = 1,70 \ gr/cm^3$$

4. Kadar Air (w)

$$w = \frac{b-c}{c-a} \times 100\%$$

$$w = \frac{49,55 - 44,14}{44,14 - 4,51} \times 100\%$$

$$w = 13,65\%$$

Dimana: a = Nilai Berat Cawan (gram)

b = Nilai Berat Cawan + Tanah Basah (gram)

c = Nilai Berat Cawan + Tanah Kering (gram

5. Berat Volume Tanah Kering (γd)

$$\gamma d = \frac{\gamma b}{1+w}$$

$$\gamma d = \frac{1.7}{1+0.136}$$

$$\gamma d = 1.4 \ gr/cm^3$$

6. Zero Air Void (ZAV)

$$ZAV = \frac{Gs \, x \, \gamma w}{1 + (Gs + w)}$$

$$ZAV = \frac{2,611 \, x \, 1,7}{1 + (2,611 + 0,136)}$$

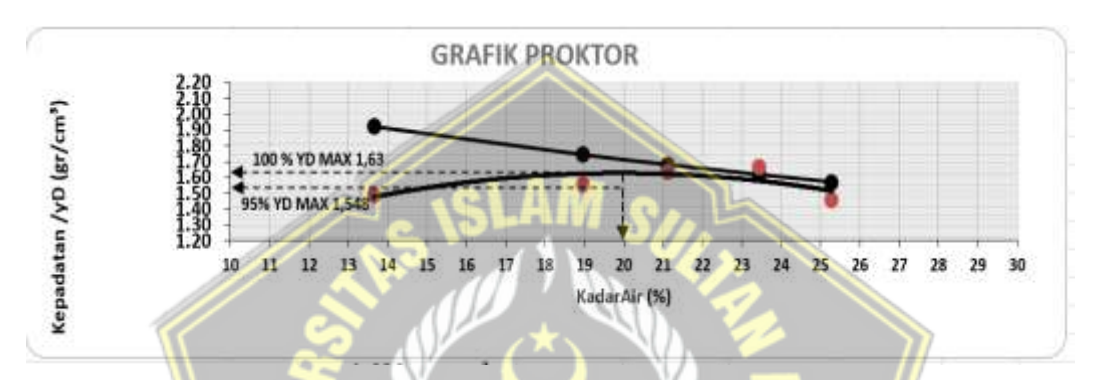
$$ZAV = 1,92 \, gr/cm^3$$

Tabel 4. 19 Nilai Perhitungan Proctor Standart.

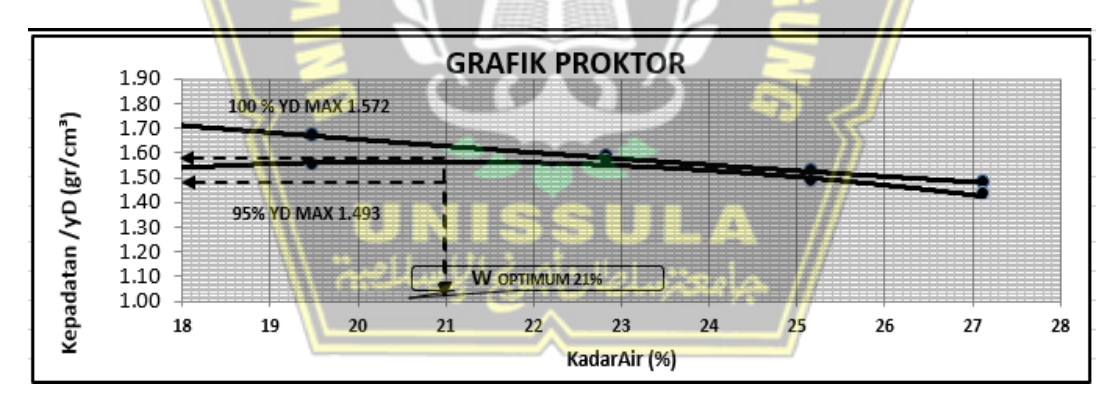
Sampel	No.	(%)	GS (gr/cm³)	γb (gr/cm³)	γd (gr/cm³)	ZAV
Tanah Asli	I .	13,65	2,611	1,70	1,49	1,2
	II	18,97	2,611	1,86	1,56	1,75
	III	21,12	2,611	1,99	1,64	1,68
	IV	23,45	2,611	2,05	1,66	1,62
	V	25,28	2,611	1,83	1,46	1,57
	\\ I	17,88	2,473	1,82	1,54	1,71
	п	19,49	2,473	1,85	1,55	1,67
Tanah	m ~	22,84	2,473	1,92	1,57	1,58
Campuran MB 10%	IV	25,12	2,473	1,86	1,48	1,52
	V	27,13	2,473	1,82	1,43	1,48
	I	16,88	2,413	1,89	1,62	1,71
	II	18,61	2,413	1,92	1,62	1,67
Tanah	III	19,68	2,413	1,94	1,62	1,64
Campuran MB 15% Tanah Campuran	IV	22,34	2,413	1,83	1,50	1,57
	V	24,18	2,413	1,81	1,46	1,52
	I	13,27	2,351	1,83	1,61	1,79
	II	14,37	2,351	1,88	1,64	1,76
	III	15,70	2,351	1,91	1,65	1,72
	IV	17,35	2,351	1,83	1,56	1,67

MB 20%	V	19,34	2,351	1,77	1,48	1,62
Tanah Campuran MB 25%	I	11,69	2,326	1,80	1,61	1,83
	II	13,41	2,326	1,86	1,64	1,77
	III	13,56	2,326	2,04	1,80	1,77
	IV	16,08	2,326	1,86	1,60	1,69
	V	18,09	2,326	1,84	1,56	1,64

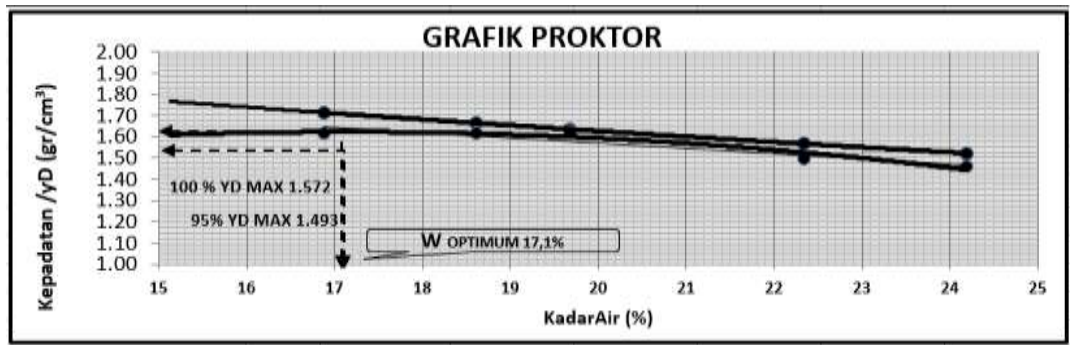
Dari **Tabel 4.19** menunjukan hasil perhitungan secara keseluruhan untuk menunjukan hasil perhitungan secara keseluruhan untuk tanah campuran Mortar Busa.



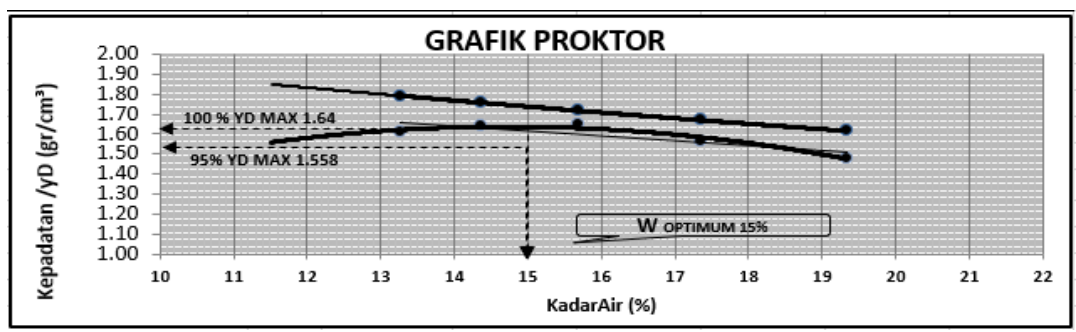
Gambar 4. 14 Grafik Wopt sampel Tanah Asli.



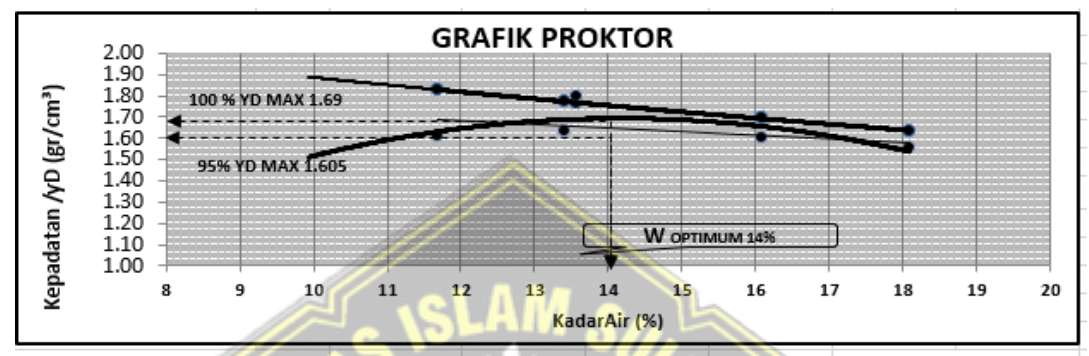
Gambar 4. 15 Grafik Wopt sampel Tanah Campuran MB 10%.



Gambar 4. 16 Grafik Wopt sampel Tanah Campuran MB 15%.



Gambar 4. 17 Grafik Wopt sampel Tanah Campuran MB 20%.

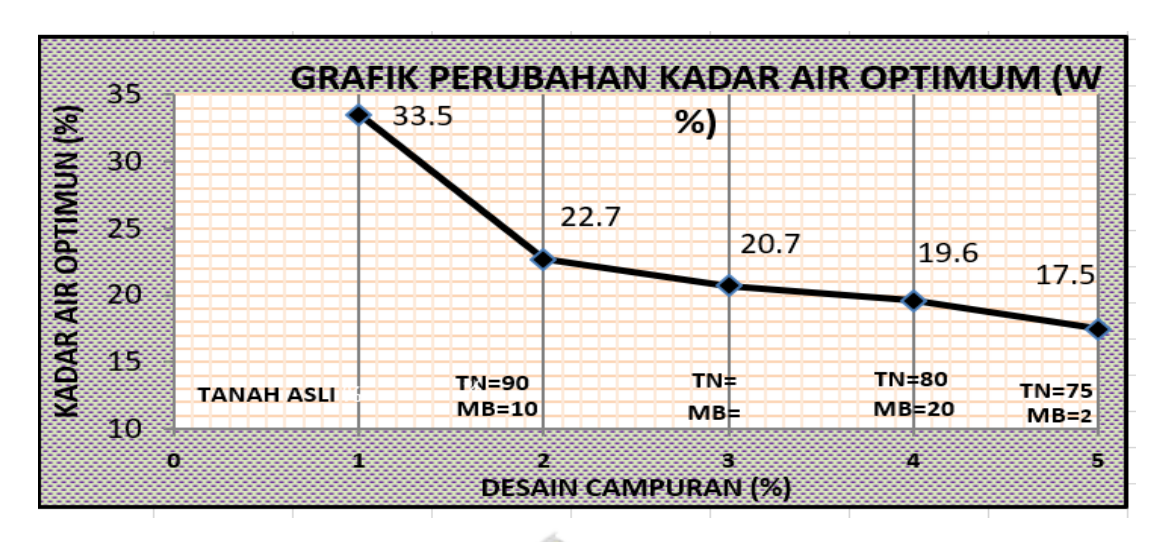


Gambar 4. 18 Grafik Wopt sampel Tanah Campuran MB 25%.

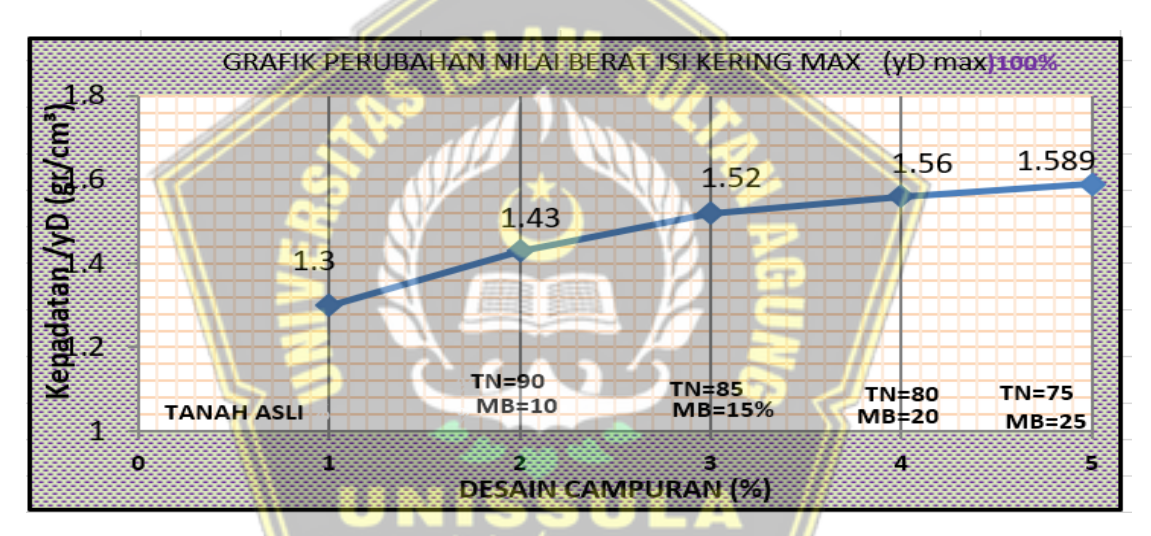
Tabel 4. 20 Hasil Proctor Standart Tanah Asli yang terdiri dari campuran.

No	Sampel	W _{opt} (%)	γd (gr/cm³)
1	Tanah Asli	20,00	1,63
2	Tanah Campuran MB 10%	21,00	1,57
3	Tanah Campuran MB 15%	17,10	1,63
4	Tanah Campuran MB 20%	15,00	1,64
5	Tanah Campuran MB 25%	14,00	1,69

Dari **Tabel 4.20** dapat diperoleh grafik kadar air optimum (W_{opt}) seperti pada **Gambar 4.19.**



Gambar 4. 19 Grafik *Proctor Standart* yang menunjukan contoh Tanah Asli yang mengandung campuran Mortar Busa.



Gambar 4. 20 Grafik *yd* max 100%.

Berdasarkan dari **gambar 4.19** di atas, dapat dilihat bahwa kecenderungan (*trens*) grafik *proctor standart* semakin banyak diberikan campuran Mortar Busa semakin kecil (wopt) dan semakin besar γd (gr/cm³), ini berarti karakter daya dukung tanah semakin meningkat (karakter tanah semakin baik atau semakin padat). Wopt tanah paling rendah diketahui pada tanah campuran mortar busa 25% yakni 14%.

4.3.5 California Bearing Ratio (CBR)

California Bearing Ratio (CBR) digunakan untuk menghitung nilai daya dukung tanah dengan kerapatan tertinggi. **Tabel 4.21 dan 4.22** menunjukkan data hasil pengujian CBR, yang menggunakan kadar air yang paling ideal yang dihasilkan dari Uji *Proctor Standart*. **Tabel 4. 21** Hasil Pengujian Tanah Asli dan Campuran Mortar Busa.

Tabel 4. 21 Hasil Pengujian Tanah Asli dan Campuran Mortar Busa.

Sampel	No.	Berat Alat + Tanah (gr)	Berat Cawan (a)	Berat Cawan + Tanah Basah (b)	Berat Cawan + Tanah Kering (c)
Tanah Asli	1	10300	4,27	54,06	47,5
Tanah Campuran 10%	2	10765	4,23	58,6	49,12
Tanah Campuran 15%	3	11068 را بارسالاست	4,04 <u> </u>	65,04 Alassa	55,8
Tanah Campuran 20%	4	10725	4,28	58,05	50,98
Tanah Campuran 25%	5	10965	4,08	42,69	37,81

Data alat

Berat tabung = 6073 gram

Tinggi tabung = 11,6 cm

Diameter tabung = 15,2 cm

Analisis hasil perhitungan pengujian CBR:

Untuk sampel tanah asli tumbukan, digunakan contoh perhitungan 56x.

1. Volume Alat

$$V = \frac{1}{4}x \pi x D^{2} x t$$

$$V = \frac{1}{4}x 3,14 x (15,2)^{2} x 11,60$$

$$V = 2103,85 cm^{3}$$

- 2. Berat Tanah Basah
 - = (Berat *Proctor* + Tanah) Berat *Proctor* (alas + 1)
 - = 10454 6073
 - =4381 gram
- 3. Berat Volume Tanah Basah

$$\gamma b = \frac{\text{Berat Tanah Basah}}{\text{Volume Cetakan}}$$

$$\gamma b = \frac{4381}{2103,85}$$

$$\gamma b = 2.08 \, gr/cm^3$$

4. Kadar Air (w)

$$w = \frac{b-c}{c-a} \times 100\%$$

$$w = \frac{47,56 - 41,80}{41,80 - 4,10} \times 100\%$$

$$w = 15,63\%$$

Dimana: a = Nilai Berat Cawan (gram)

b = Nilai Berat Cawan + Tanah Basah (gram)

c = Nilai Berat Cawan + Tanah Kering (gram)

5. Berat Volume Tanah Kering (γd)

$$\gamma d = \frac{\gamma b}{1+w}$$

$$\gamma d = \frac{2{,}08}{1+0{,}156}$$

$$\gamma d = 1,79 \ gr/cm^3$$

Data penetrasi dari setiap sampel juga diperoleh dari pengujian CBR di laboratorium, seperti yang ditunjukkan dalam **Table 4.22.**

Menghitung pengurangan beban:

Koreksi beban = Kalibrasi Alat x Pembacaan Arloji CBR

 $= 9,391 \times 8$

=75,13 lbs

Tabel 4. 22 Hasil Penetrasi Sampel Tanah campuran Mortar Busa

Kalibrasi: 9.391

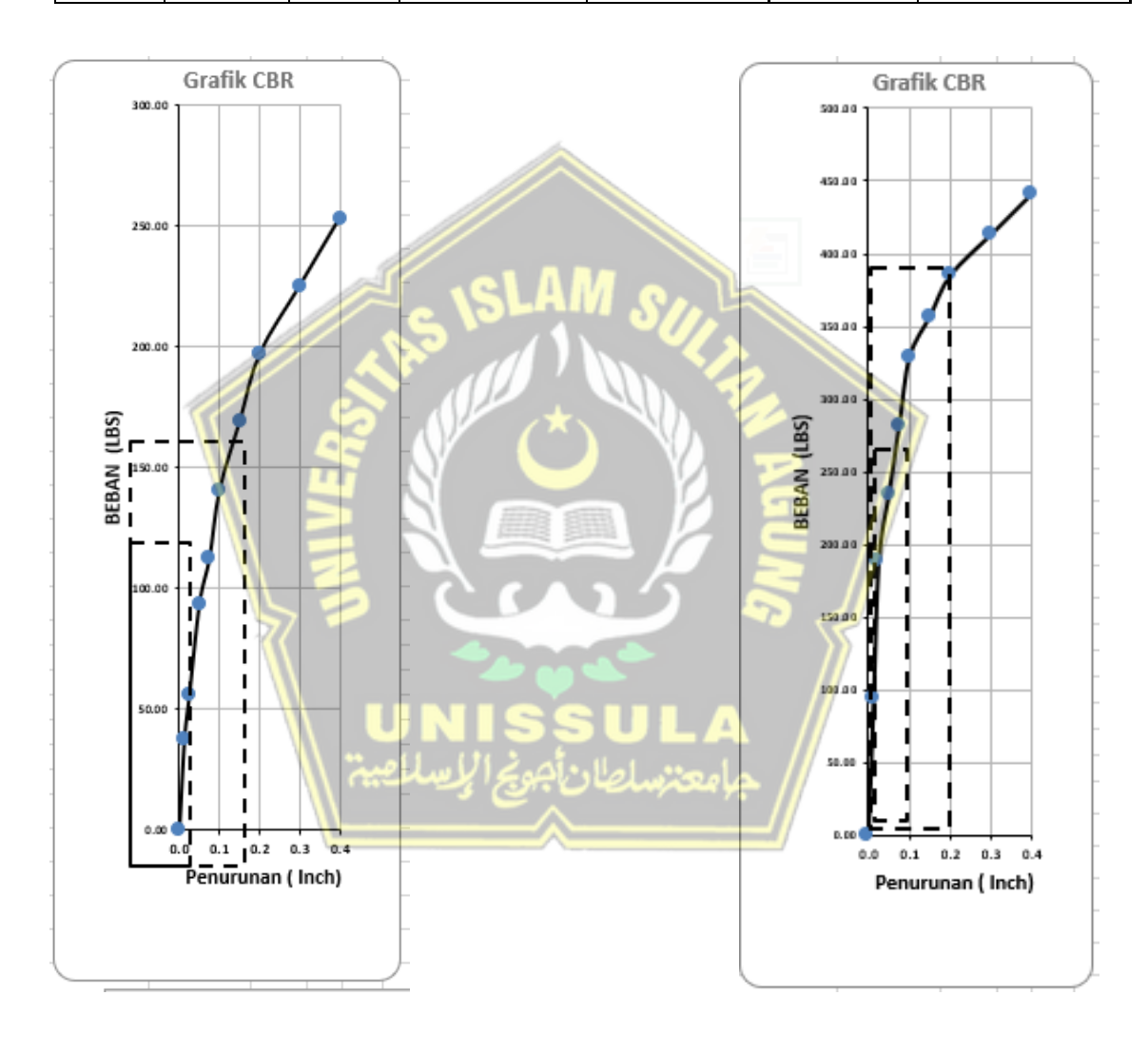
	Pen	urunan	Jumlah tumbukan					
t			Та	ınah Asli	Tanah Campuran 10%			
(menit)	menit) (inch)		Arloji	Koreksi	Arloji	Koreksi		
		1	Bawah	Korcksi	Bawah	Koleksi		
1/4	0,0125	0,32	4	37,56	10	93,91		
1/2	0,0250	0,64	6	56.35	20 //	187.82		
1	0,0500	1,27	10	93.91	25	234.78		
1,5	0,0750	1,91	12	112.69	30	281.73		
2	0,1000	2,54	15	140.87	35	328.69		
3	0,1500	3,81	18	169.04	38	356.86		

4	0,2000	5,08	21	197.21	41	385.03
6	0,3000	7,62	24	225.38	44	413.20
8	0,4000	10,16	27	253.56	47	441.38

	Penur	unan	Jumlah Tumbukan		
t			Tanah Campuran 15%		
(menit)	(inch)	(mm)	Arloji Bawah	Koreksi	
1/4	0,0125	0,32	7	65.74	
1/2	0,0250	0,64	17	159.65	
1	0,0500	1,27	21	197.21	
1,5	0,0750	1,91	28	262.95	
2	0,1000	2,54	35	328.69	
3	0,1500	3,81	38	356.86	
4	0,2000	5,08	41	385.03	
6	0,3000	7,62	44	413.20	
8	0,4000	10,16	47	441.38	

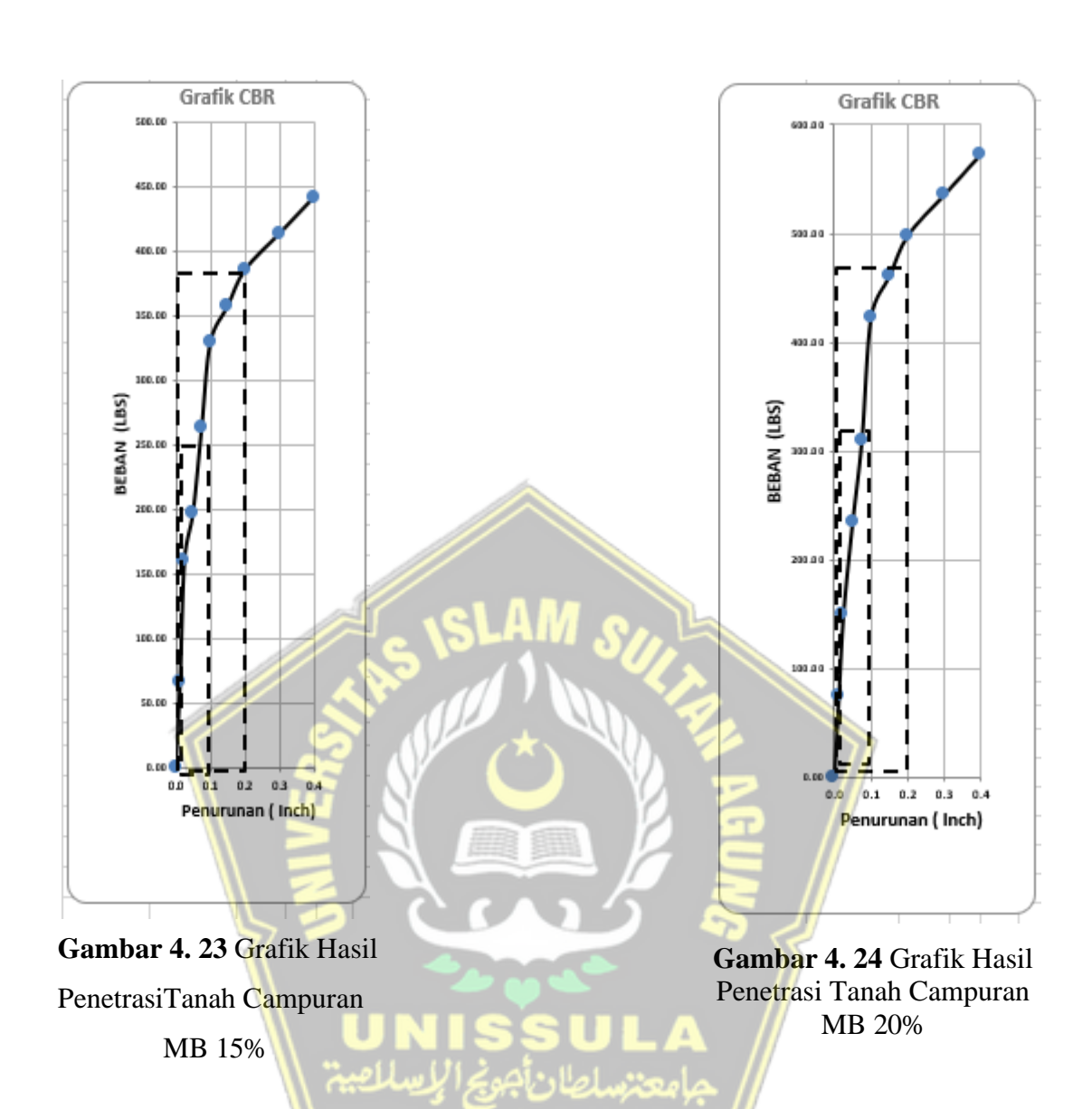
	Penur <mark>un</mark> an Penurunan		Jumlah tumbukan					
t		// c::	Tanah Campuran 20%		Tanah Campuran 25%			
(menit)	(inch)	(mm)	Arloji Bawah	Koreksi	Arloji Bawah	Koreksi		
1/4	0,0125	0,32	8	75.13	7	65.74		
1/2	0,0250	0,64	16	150.26	17	159.65		
1	0,0500	1,27	25	234.78	27	253.56		
1,5	0,0750	1,91	33	309.90	37	347.47		

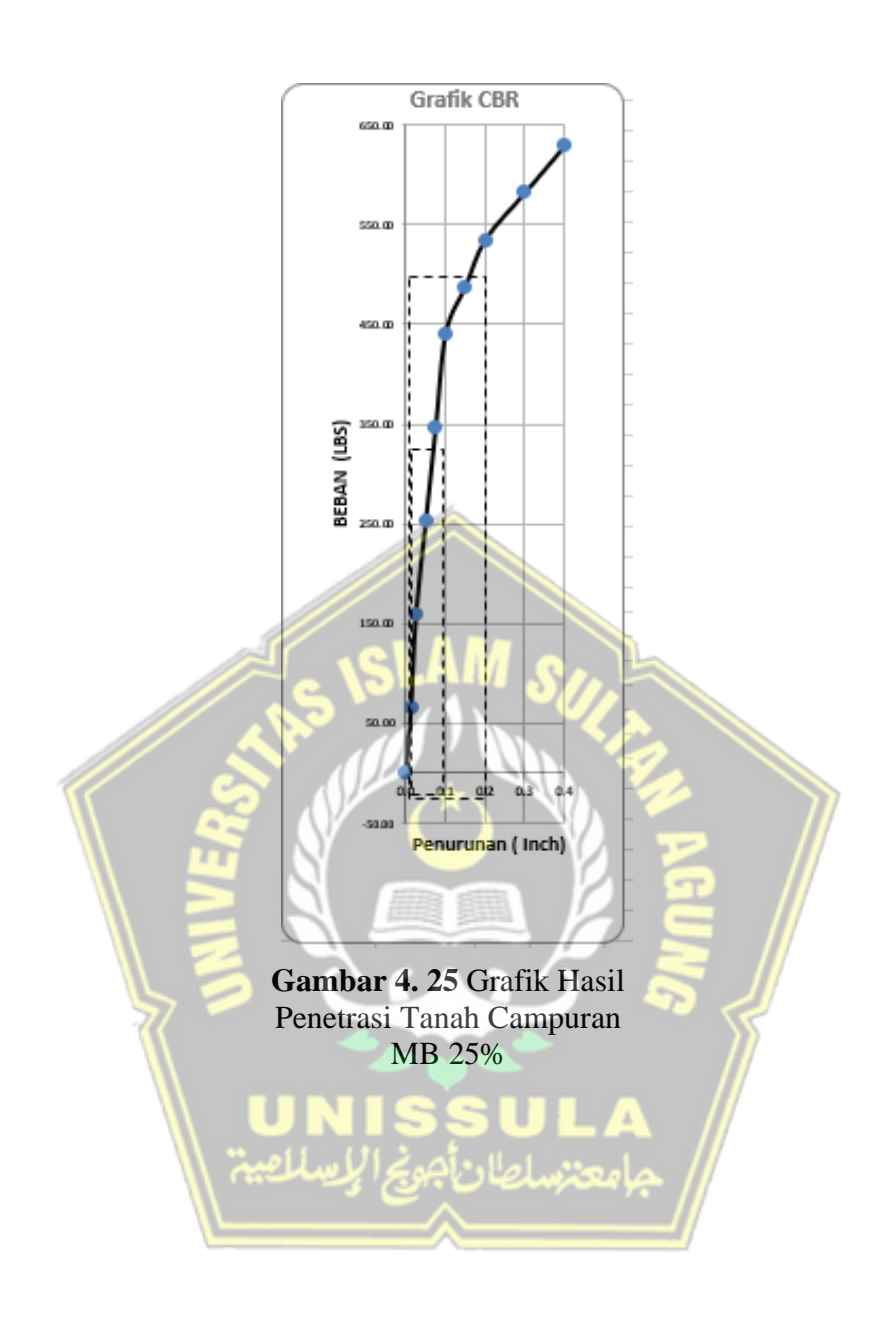
2	0,1000	2,54	45	422.60	47	441.38
3	0,1500	3,81	49	460.16	52	488.33
4	0,2000	5,08	53	497.72	57	535.29
6	0,3000	7,62	57	535.29	62	582.24
8	0,4000	10,16	61	572.85	67	629.20



Gambar 4. 21 Grafik Hasil Penetrasi Hasil Tanah Asli

Gambar 4. 22 Grafik Hasil Penetrasi Tanah Campuran MB 10%





Menurut data yang dikumpulkan dari penetrasi tanah asli dan kombinasi Mortar Busa Dengan melakukan perhitungan, harga CBR setiap sampel dapat dihitung.

Perhitungan yang dibuat untuk sampel tanah awal dapat ditemukan di sini :

1. Menghitung Penetrasi 0,1" (0,254)

$$CBR(\%) = \frac{P1}{3X1000} \times 100\%$$
$$= \frac{140,87}{3X1000} \times 100\%$$
$$= 4,70\%$$

2. Menghitung Penetrasi 0,2" (0,508)

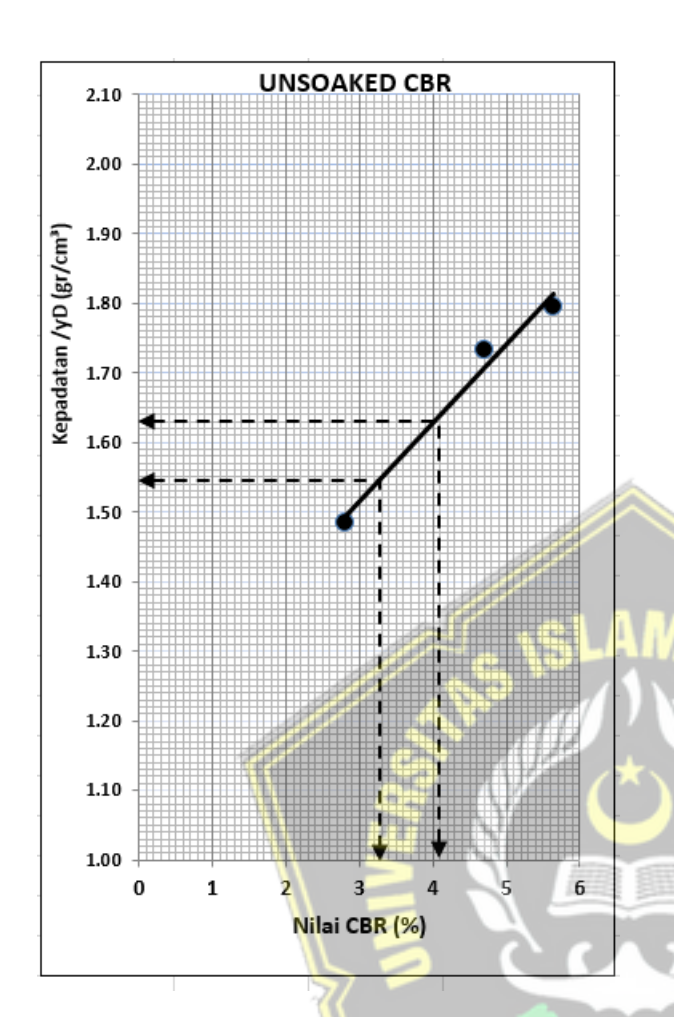
$$CBR(\%) = \frac{P1}{3X1500} \times 100\%$$

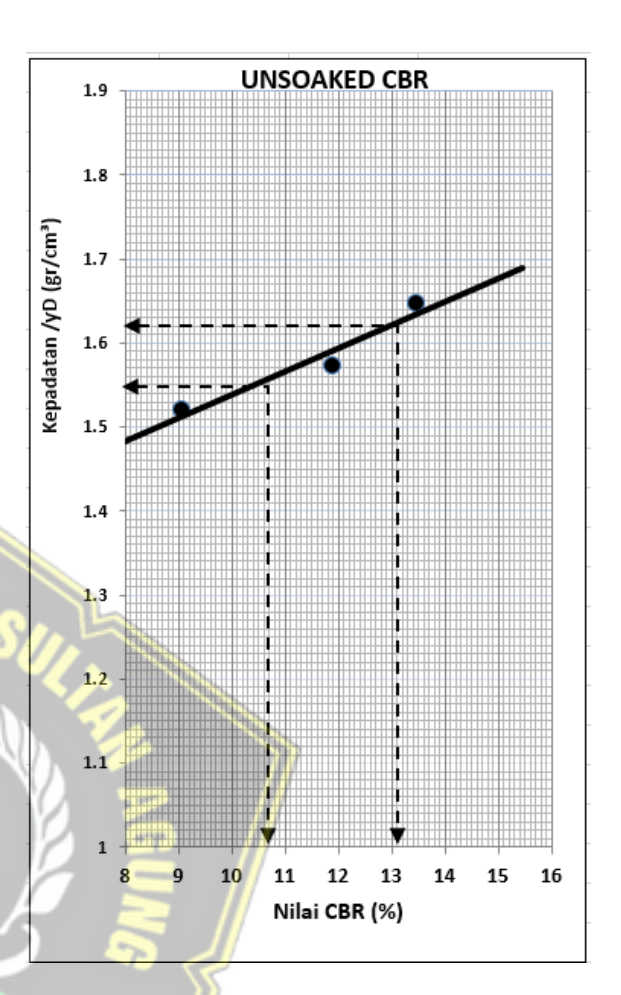
$$= \frac{197,21}{3X1500} \times 100\%$$

$$= 4,38\%$$

Tabel 4. 23 Harga CBR Tanah Asli dan Tanah Campuran Mortar Busa

	Beban Bawa	h Koreksi	<mark>H</mark> arga CBR		
Jenis Sampel	0,1"	0,2"	0,1"	0,2"	
Tanah Asli	140,87	197,21	4,70	4,38	
Tanah Campuran 10%	328,69	385,03	10,96	8,56	
Tanah Campuran 15%	328,69	385,03	10,96	8,53	
Tanah Campuran 20%	422,60	497,72	14,09	11,06	
Tanah Campuran 25%	441,38	535 <mark>,2</mark> 9	14,71	11,90	

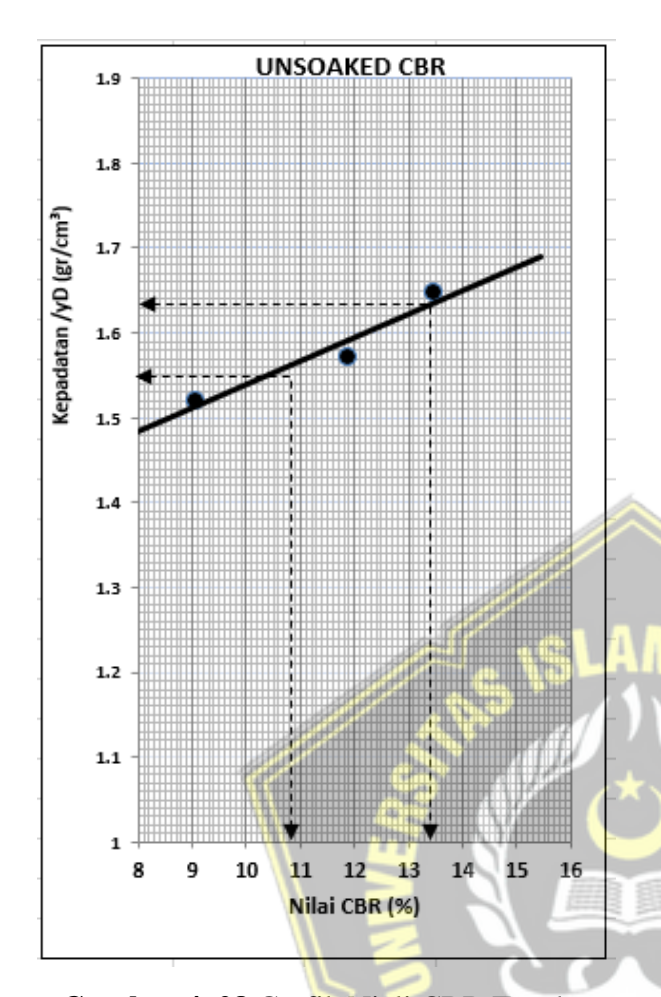


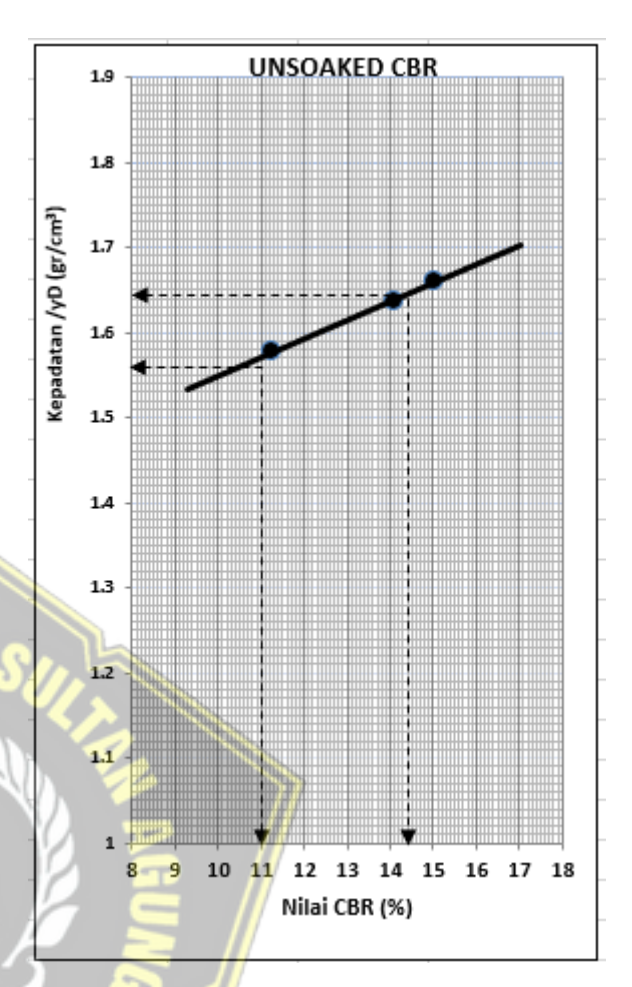


Gambar 4. 26 Grafik Nilai CBR tanah asli

Gambar 4. 27 Grafik Nilai CBR Tanah Campuran MB 10%

Gambar 4. 26 Hasil pembacaan Nilai CBR 95% sebesar 3,30% dan Nilai CBR 100% sebesar 4,10% ditunjukkan pada grafik di atas, dan **Gambar 4. 27** Hasil pembacaan Nilai CBR 95% sebesar 10,60% dan Nilai CBR 100% sebesar 13,10% ditunjukkan pada grafik di atas.

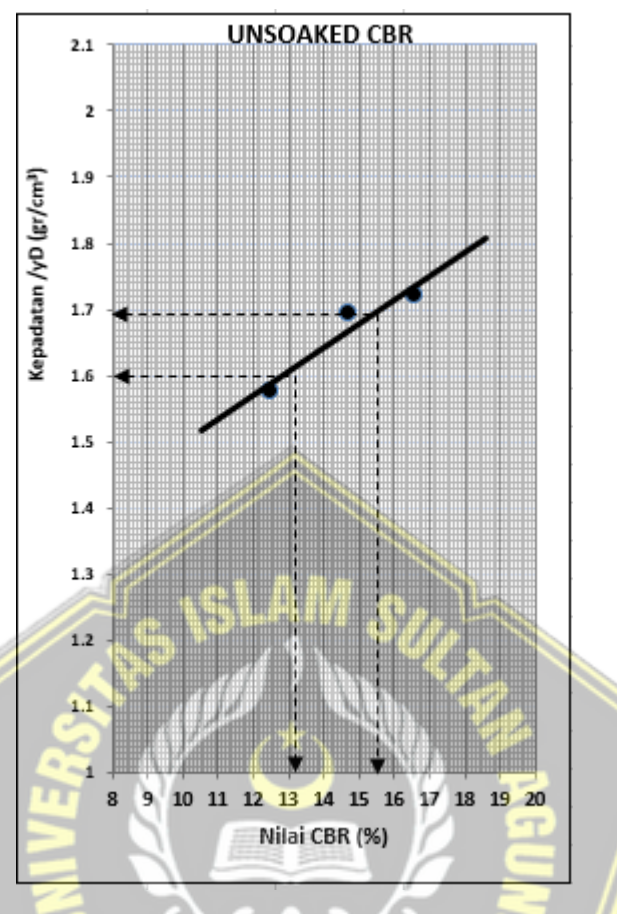




Gambar 4. 28 Grafik Niali CBR Tanah Campuran MB 15%

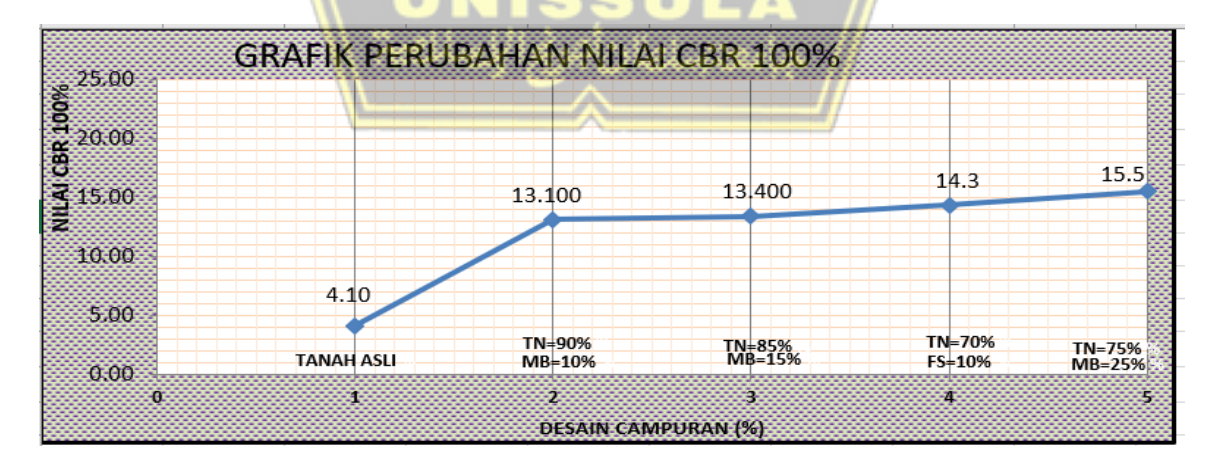
Gambar 4. 29 Grafik Nilai CBR Tanah Campuran MB 20%

Gambar 4. 28 Hasil pembacaan Nilai CBR 95% sebesar 10,80% dan Nilai CBR 100% sebesar 13,40% ditunjukkan pada grafik di atas, dan Gambar 4. 29 Hasil pembacaan Nilai CBR 95% sebesar 11,00% dan Nilai CBR 100% sebesar 14,30% ditunjukkan pada grafik di atas.

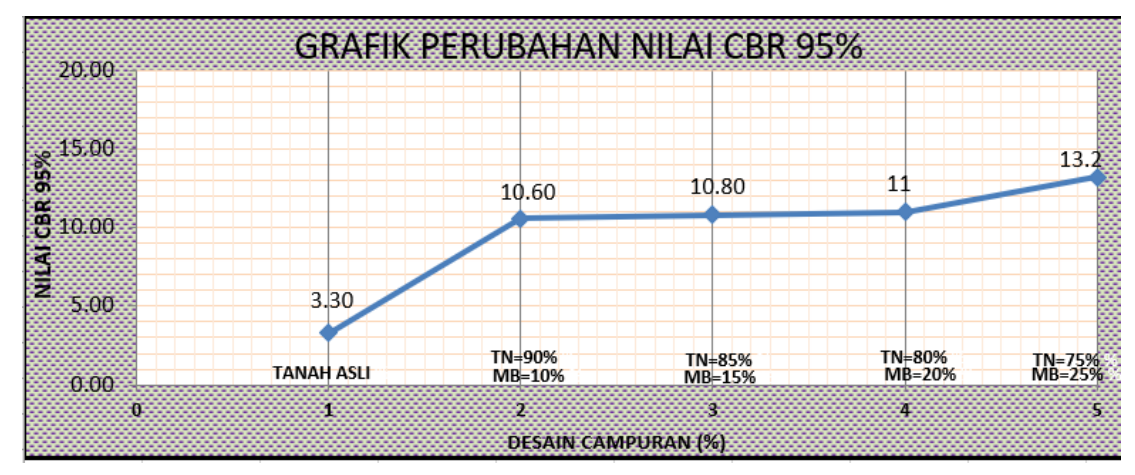


Gambar 4. 30 Grafik Nilai CBR Tanah Campuran MB 25%

Hasil pembacaan Nilai CBR 95% sebesar 13,20% dan Nilai CBR 100% sebesar 15,50% ditunjukkan pada grafik di atas.



Gambar 4. 31 Grafik Nilai CBR 100%



Gambar 4. 32 Grafik Nilai CBR 95%

Berdasarkan **Gambar 4.31**, terlihat bahwa menambahkan Mortar Busa maka semakin meningkat nilai CBR tanah tersebut yang berarti itu daya dukung tanah semakin meningkat. Nilai CBR paling tinggi didapatkan di Tanah Campuran 25% yakni CBR 15,50% termasuk kategori sedang.

4.4 Akhir Pembahasan

1. Atterberg Limit

Berdasarkan hasil Uji Atterberg limit dapat diketahui bahwa tanah yang distabilisasi menggunakan Mortar Busa menunjukkan bahwa nilai IP tanah, semakin banyak diberikan campuran, nilai IP semakin menurun karena akibat dari peningkatan sifat tanah, yang berarti bahwa daya dukung tanah meningkat.

2. Direct Shear

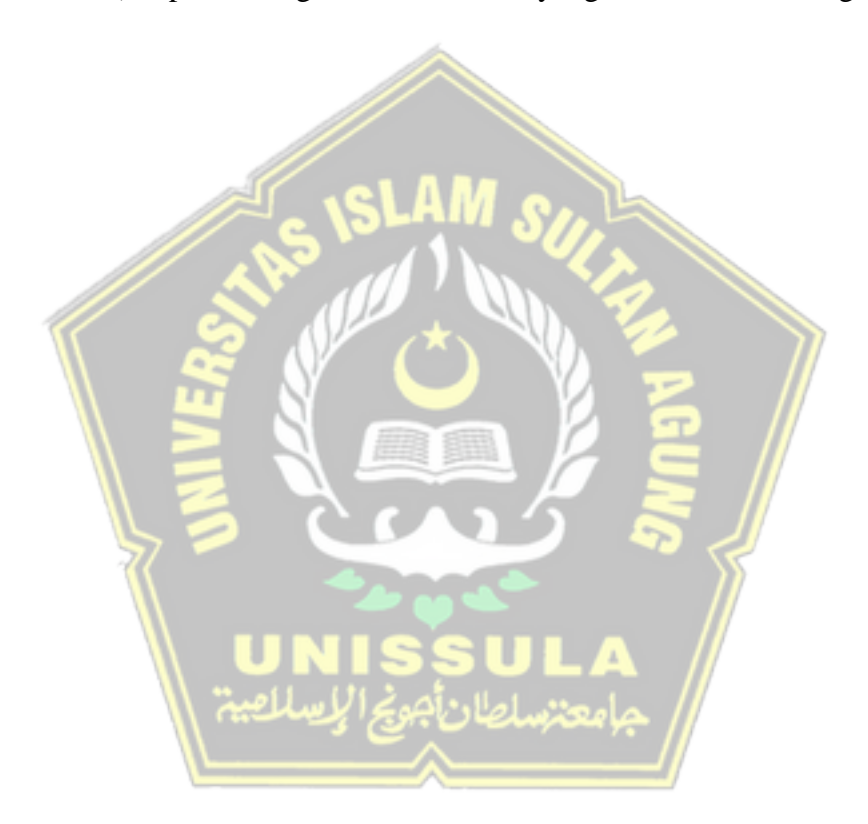
Nilai kohesi tanah yang tinggi ditemukan berdasarkan hasil uji Direct shear di presentase (Tanah Campuran 25%) yakni 0,212 kg/cm2.dan pada sudut geser nilai yang paling tinggi yakni pada presentase (Tanah Campuran 25%) yakni 31,12%.semakin tinggi nilai kohesi dan sudut geser maka semakin baik daya dukung tanahnya.

3. Proctor Standart

Dapat dilihat bahwa pada pengujian *Proctor Standart* jika nilai kadar air semakin menurun maka kondisi daya dukung tanahnya tinggi. Pengujian kali ini menunjukan presentase nilai optimum 14,00% adalah yang paling sedikit presentasenya.

4. CBR (California Bearing Ratio)

Dengan menambah Mortar Busa baja maka semakin meningkat nilai CBR dan menunjukan daya dukung tanah semakin baik, nilai CBR maksimal campuran (Tanah Campuran 25%) dapat meningkat CBR 15,50% yang masuk dalam kategori sedang.



BAB V

PENUTUP

5.1 Kesimpulan

- 1. Setelah diuji di laboratorium, karakteristik tanah asli yang diambil dari Desa Sekaran Kec.Gunung Pati Kabupaten Semarang ,Jawa Tengah, adalah jenis tanah lempung lunak dan memiliki daya dukung yang rendah, hal ini terlihat dari hasil uji properties tanah seperti pada hasil uji direct shear dimana nilai sudut geser dalam 18,58, hasil uji CBR tanah asli 4,10 %, nilai (Gs) 2,611 nilai indeks plastisitas (IP) 30,07 %, dan kadar air optimum (Wopt) 20,00%.
- Berdasarkan hasil pengujian laboratorium, penambahan Mortar Busa sebagai campuran terbukti memengaruhi stabilitas tanah. Semakin tinggi proporsi Mortar Busa yang ditambahkan, semakin membaik sifat mekanik tanah, yang mengindikasikan peningkatan daya dukung tanah.
- 3. Berdasarkan pengujian *California Bearing Ratio* (CBR) *Unsoaked* pada sampel tanah asli, diperoleh nilai CBR sebesar 4,10%. Sementara itu, pengujian pada sampel tanah yang dicampur Mortar Busa dengan presentase 10%, 15%, 20%, dan 25% menghasilkan nilai CBR masing-masing sebesar 13,10%, 13,40%, 14,30%, dan 15,50%. Dapat disimpulkan bahwa nilai CBR *Unsoaked* optimum diperoleh pada campuran Mortar Busa 25%, yaitu sebesar 15,50%.

5.2 Saran

1. Perbanyak jumlah sampel penelitian dengan persentase campuran tertentu yang selisih tiap sampelnya sedikit untuk mengetahui perbandingan perubahan hasil yang terjadi dan titik yang lebih optimum.

- 2. Diperlukan penelitian lebih lanjut dengan penambahan bahan stabilisator lain sehingga didapatkan hasil yang lebih baik lagi.
- 3. Perlu ketelitian dan berhati hati dalam melakukan uji laboratorium terutama penggunaan alat yang harus sesuai prosedur agar diperoleh hasil maksimal dan lebih valid.



DAFTAR PUSTAKA

Miswar. (2018). Daya Dukung Tanah Lempung Lunak. Jurnal Teknik Sipil.

Wismantara, I., & Budiarnaya, I. G. N. (2020). Perbaikan Tanah Lunak dengan Mortar Busa. Prosiding Seminar Nasional Teknik Sipil.

Pratikso, & Maizir, H. (2024). Mortar Busa sebagai Lapisan Subgrade. Jurnal Infrastruktur.

Andiyarto. (2015). Pengaruh Stabilisasi Tanah Lempung. Jurnal Teknik Sipil Indonesia.

Leliana, & Andajani. (2015). Tanah dan Karakteristiknya. Penerbit Teknik Sipil.

Isbusandi. (2018). Mekanika Tanah. Jakarta: Penerbit Erlangga.

Rusdiansyah. (2018). Tanah Ekspansif dan Dampaknya terhadap Struktur Bangunan. Jurnal Geoteknik.

Kurniawan, dkk. (2016). Stabilisasi Tanah untuk Peningkatan Daya Dukung. Prosiding Teknik Sipil.

Bowles, J.E. (1994). Physical and Geotechnical Properties of Soils. McGraw-Hill.

Braja M. Das. (1995). Principles of Geotechnical Engineering. PWS Publishing Company.

Hardiyatmo, H.C. (1992). Mekanika Tanah I. Gadjah Mada University Press.

Taffarel, J.Y., & Herdianto. (2022). Karakteristik Tanah Lempung Lunak. Jurnal Sipil.

Amania, F.S. (2022). Klasifikasi Tanah dengan Sistem USCS dan AASHTO. Jurnal Infrastruktur.

Mulyono. (2022). Klasifikasi Tanah untuk Konstruksi Jalan. Penerbit Teknik Sipil.

Samtani, N.C., & Nowatski, E.A. (2006). Soil Mechanics. CRC Press.

Yulianti, dkk. (2023). Uji CBR pada Tanah Lempung. Jurnal Infrastruktur.

Craig, R.F. (1991). Soil Mechanics. Chapman & Hall.

Prihatin. (2014). Kuat Geser Tanah. Jurnal Geoteknik.

Wibowo, A. (2022). Mortar Busa untuk Stabilitas Jalan. Bina Teknik Jalan dan Jembatan.